

## ТЕКТОНИЧЕСКАЯ ЭВОЛЮЦИЯ АНАДЫРСКОЙ ВПАДИНЫ В СВЯЗИ С ПЕРСПЕКТИВАМИ ЕЕ НЕФТЕГАЗОНОСНОСТИ (СЕВЕРО-ВОСТОК ЕВРАЗИИ)

© 2009 г. М. П. Антипов<sup>1</sup>, Г. Е. Бондаренко<sup>1</sup>, Т. О. Бордовская<sup>1</sup>, Э. В. Шипилов<sup>2</sup>

<sup>1</sup>Геологический институт РАН, 119017, Москва, Пыжевский пер., д. 7

<sup>2</sup>Мурманский морской и биологический институт Кольского научного центра РАН,  
183010, Мурманск, Владимира ул., 17

Поступила в редакцию 5.09.2007 г.

В статье проведен анализ опубликованных данных по условиям осадконакопления, строению и тектонической эволюции в мезозое и кайнозое Анадырской впадины. Данные переосмыслены в контексте современных тектонических концепций о развитии северо-западной Циркум-Пацифики. Выполненный анализ позволил не только уточнить ряд положений и представлений о геологическом строении и тектонической истории региона, но также предложить основанный на новой концептуальной базе прогноз нефтегазоносности осадочного чехла впадины.

История формирования осадочного чехла Анадырской впадины неразрывно связана с тектонической историей региона. Рассматриваемая часть Чукотского полуострова в позднем мезозое развивалась на стыке Южно-Ануйского бассейна океанического типа, окраины Азиатского континента и разновозрастных зон конвергенции вдоль границы Азиатского континента с Пацифией. В кайнозое преобладали условия сдвигообразования и импульсов растяжения преимущественно в связи с формированием оро-клинико-изгиба структур северо-восточной Евразии и северо-западной Северной Америки на фоне акреции террейнов вдоль зоны конвергенции с океаническими плитами Тихого океана.

В формировании чехла впадины можно выделить три основных этапа.

(1) После альб-сеноманского орогенеза в позднем мелу–раннем эоцене в условиях чередования обстановок пассивной и активной континентальной окраины сформировалась нижняя часть осадочного чехла. Переходный осадочный комплекс сеномана–нижнего эоцена приурочен главным образом к южной части Анадырской впадины (Майницкий и Лагунный прогибы).

(2) В среднем эоцене–олигоцене седиментация протекала на фоне растяжения и рифтинга в северной части палеовпадины и сжатия в ее южной части. Сжатие было обусловлено миграцией в северном направлении предгорного прогиба перед фронтом Корякского аккреционного орогена. Максимальные мощности эоцен–олигоценового осадочного комплекса фиксируются преимущественно в южной части впадины, а также в Центральном и Восточно-Анадырском прогибах.

(3) Среднемиоценовая активизация осадконакопления связана, главным образом, с процессами сдвигообразования и рифтогенеза. Миоцен–четвертичные осадки наиболее интенсивно накапливались в центральных и северных частях Анадырской впадины, а также в локальных присдвиговых депрессиях Центрального прогиба.

Анализ геолого-геофизических материалов подтверждает надвиговое строение южной части Анадырской впадины. Амплитуда перекрытия надвигами отложений Майницкого прогиба составляет первые десятки километров. Вертикальная мощность тектонически экранированных палеоген-неогеновых отложений в южной части Майницкого прогиба превышает 10 км.

Количественный прогноз объема эмиграции углеводородов из нефтематеринских толщ мела и палеогена свидетельствует о дисбалансе между эмигрировавшими и аккумулированными в ловушках, открытых в пределах Анадырской впадины, месторождений углеводородов.

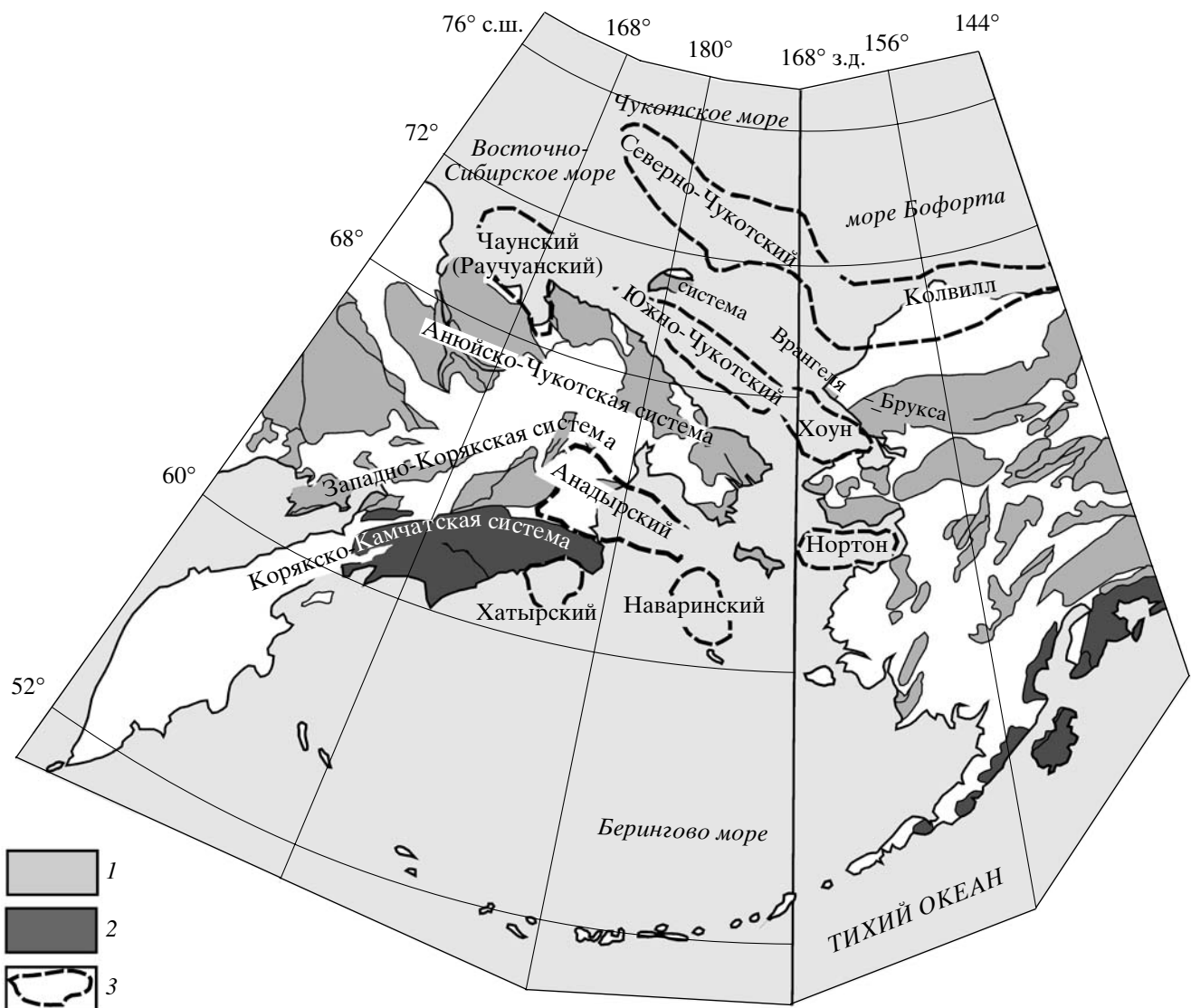
Наибольшие перспективы обнаружения новых месторождений углеводородов связаны с южной частью Анадырской впадины. Здесь вероятно обнаружение промышленных скоплений углеводородов в верхнемеловых, эоценовых и верхнеолигоцен-миоценовых поровых и трещинно-поровых коллекторах, локализованных в структурно-литологических ловушках поднадвигового типа.

### ВВЕДЕНИЕ

Проблеме тектоники и нефтегазоносности Анадырской впадины посвящены публикации многих исследователей: Д.И. Агапитова, Д.Д. Агапитова, В.В. Иванова, М.Л. Вербы, Ю.К. Бурлина, В.Е. Архипова, Ю.Б. Гладенкова, Ю.М. Пущаровского, Э.В. Шипилова, А.П. Ставского, Е.Н. По-

лудеткиной, Л.С. Маргулиса и др. [1–9, 12–18, 21–27, 37–39]. Эти исследователи заложили основы современных представлений о тектонике, истории геологического развития, стратиграфии и нефтегазоносности Анадырской впадины.

Главная цель данной публикации заключается в том, чтобы уточнить место Анадырской впади-



**Рис. 1.** Местоположение Анадырской впадины в структуре позднемезозойских и альпийских складчатых сооружений северного обрамления Тихого океана

1, 2 – складчатые системы: 1 – позднемезозойского возраста, 2 – альпийского возраста; 3 – контуры осадочных бассейнов

ны среди меловых-кайнозойских осадочных бассейнов восточного сектора Арктики и на основании имеющихся геологоразведочных материалов, комплексного анализа условий тектонического развития, седиментации разработать непротиворечивую модель геодинамической эволюции впадины, а также сделать предположения о наиболее перспективных с точки зрения нефтегазоносности структурных элементах.

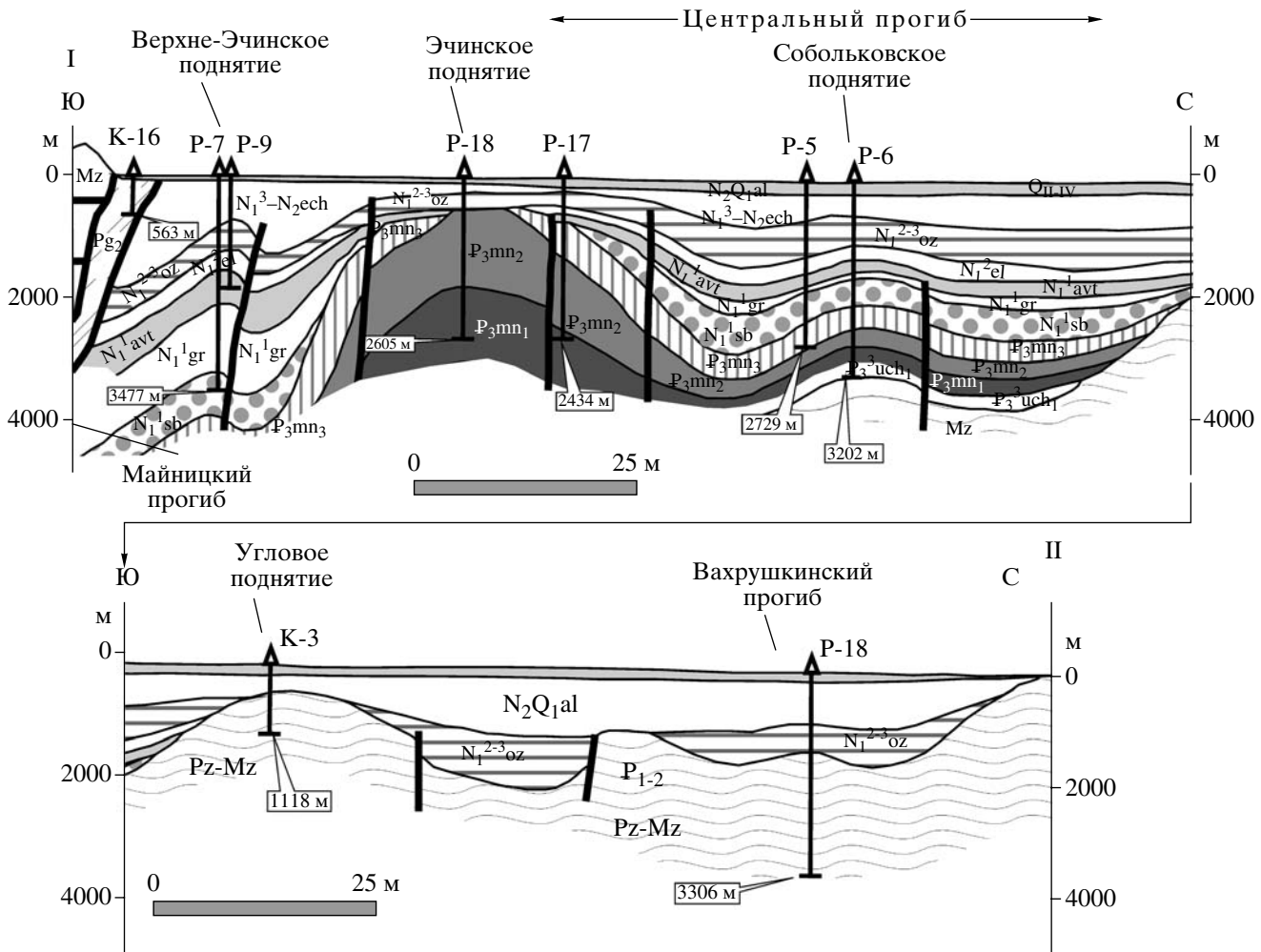
### ТЕКТОНИКА ОСАДОЧНОГО ЧЕХЛА АНАДЫРСКОЙ ВПАДИНЫ

Анадырская впадина расположена на юго-востоке Чукотского полуострова и имеет акватори-

альное продолжение на шельфе Берингова моря (рис. 1). В поперечном сечении впадина характеризуется асимметричным строением: южный борт более крутой, а северный – более пологий (рис. 2). В структуре осадочного чехла выделяются система прогибов и поднятий, которые проявлены в распределении мощностей кайнозойских отложений и глубине залегания поверхности складчатого фундамента (рис. 3, см. рис. 2).

В сухопутной и шельфовой частях Анадырской впадины в направлении с юга на север выделяются следующие главные структурные элементы:

– прогибы южного борта – Майницкий, Лагунный, Центральный, Предракткийский;



**Рис. 2.** Схематический субмеридиональный геолого-геофизический профиль через Анадырскую впадину. Местоположение профиля показано на рис. 3

– поднятия – Туманско (разделяет Майницкий и Лагунный прогибы), Тымнинско (см. рис. 3);  
 – прогибы – Центральный и Восточно-Анадырский (осложнены системой локальных поднятий – Эчинское, Верхне-Эчинское, Озерное, Телекайское и др., к которым приурочены все известные на сегодняшний день месторождения нефти и газа [5]);  
 – система локальных поднятий северного борта (Кырганайское, Онеменское, Анаутское и др.).

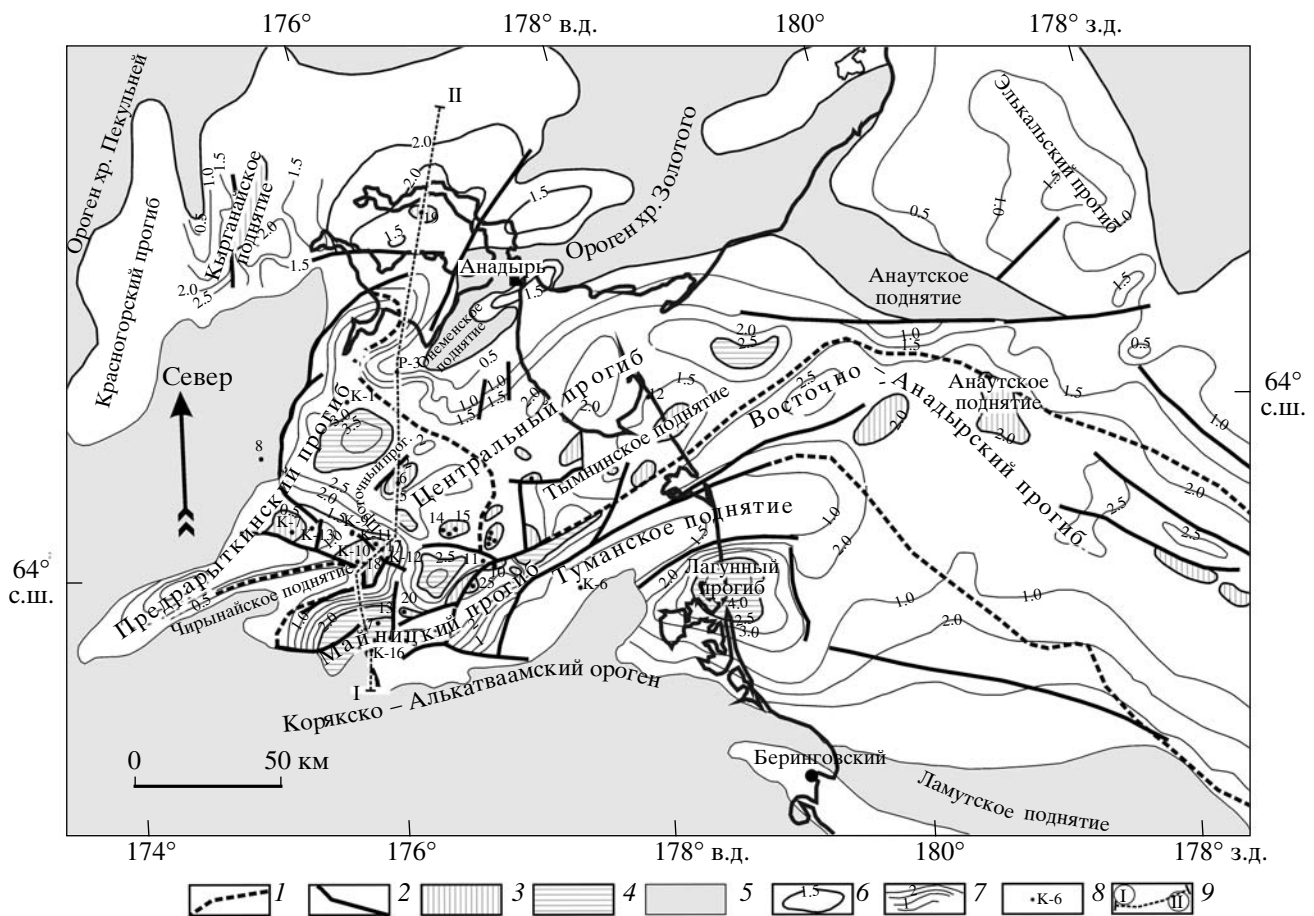
Мощность неоген-четвертичных отложений в пределах прогибов достигает 3500–4000 м, а в пределах поднятий сокращается до 500–1000 м (см. рис. 3).

По данным сейморазведки и геологического картирования, на отдельных участках границы прогибов и поднятий сопряжены с разломами. Разломные ограничения имеет южный и, частично, северный борт Майницкого прогиба, северный борт Лагунного прогиба, юго-западный борт

Тымнинского поднятия, северный и южный борта Туманского горстообразного поднятия (см. рис. 3). Часть локальных положительных структур также имеют тектонические ограничения – Верхне-Эчинская, Телекайская и др. [31] (рис. 4, см. рис. 3).

В северном ограничении Анадырской впадины по геологическим и геофизическим данным фиксируются погружающиеся на север взбросы. В западном ограничении впадины фиксируются субвертикальные разломы предположительно сдвиговой кинематики. В центральной части впадины дислокации приурочены к субвертикальным разломам юго-западного (на суше) и юго-восточного (на шельфе) простирации. В южной части впадины по геофизическим данным на суше преобладают взбросы и надвиги северной вергентности.

Северный склон Центрального прогиба характеризуется моноклинальным залеганием слоев, осложненным малоамплитудными флексурообразными перегибами (рис. 5). Флексуры приуроче-



**Рис. 3.** Схема тектонического районирования Анадырской впадины по Д.И. Агапитову и др.[2, 4, 22] с изменениями  
1 – границы основных структурных элементов впадины; 2 – разломы; 3 – наиболее амплитудные поднятия; 4 – наиболее амплитудные прогибы; 5 – орогенические области; 6 – изопахиты меловых отложений; 7 – изопахиты неогеновых отложений; 8 – скважины и их номера; 9 – линия геолого-геофизического профиля, изображенного на рис. 2

ны к субвертикальным разломам сбросового типа, часть которых имеет конседиментационный характер (см. рис. 5). Разломы проникают в осадочный чехол, достигая отложений александровской свиты. Принятая в данной статье индексация и стратиграфическая привязка сейсмических отражающих горизонтов приведена в табл. 1.

Осевая часть Центрального прогиба (рис. 6) характеризуется наличием антиклинальных поднятий, которые наиболее четко фиксируются по кровле акустического фундамента (рис. 6 и 7 – восточная часть профиля), а также по кровле сольковской и гагаринской свит (см. рис. 7).

Признаки слоистой записи обнаруживаются в пределах переходного комплекса, а также, в меньшей степени, в верхней части акустического фундамента предположительно позднемелового возраста. Малоамплитудные субвертикальные разломы ограничивают локальные выступы фун-

дамента и избирательно проникают в нижнюю часть осадочного чехла (см. рис. 6).

В Проточном прогибе (см. рис. 3), разделяющем поднятие осевой зоны Центрального прогиба и поднятие перед северным фронтом Майнинского прогиба (Чиринайское поднятие на рис. 7), на склонах фиксируются стратиграфические несогласия в подошве озернинской, автактульской и майнинской свит.

В Предрарыткиском прогибе (юго-западная часть Центрального прогиба) в западном направлении отмечается резкое вздымаение кровли переходного комплекса и акустического фундамента, ограниченное разломами сбросового типа (рис. 8). Отчетливо проявлено уменьшение мощности осадочной призмы в западном направлении и несогласие в подошве озернинской свиты.

**Майнинский прогиб.** В южном направлении строение Центрального прогиба усложняется (рис. 9). Структура становится складчато-надвиговой.

Фронтальная (северная) часть надвиговых дислокаций ограничена Чиринайским поднятием, которое имеет форму рампового горста (антиклинали), с юга поднятие ограничено взбросами, а с севера – сбросами (см. рис. 9). В областях концентрации разломов фиксируются зоны потери корреляции с хаотическим характером сейсмической записи (выделены серым цветом на рис. 9).

В направлении Майнинского прогиба вертикальная мощность осадочного чехла возрастает. Северная часть Майнинского прогиба характеризуется наиболее интенсивными тектоническими деформациями надвигового типа (обозначена как ЗИД в левой части рис. 9). Не исключено, что в Майнинском прогибе имеет место тектоническое сдавливание разреза осадочного чехла. Кровля акустического фундамента в изученной части Майнинского прогиба не фиксируется. Ольховая антиклинальная структура в западной части рис. 9 может интерпретироваться как аллохтонная, подстилаемая зоной надвигов.

Амплитуда надвигов в районе Майнинского прогиба, по данным Д.И. Агапитова с соавторами, оценивается в 30–40 км [7].

**Восточно-Анадырский прогиб.** В строении шельфовой части Анадырского бассейна обнаруживаются некоторые аналогии с его сухопутной частью. Наибольшие мощности осадочного чехла приурочены к Ламутскому (на юге) и к соб-

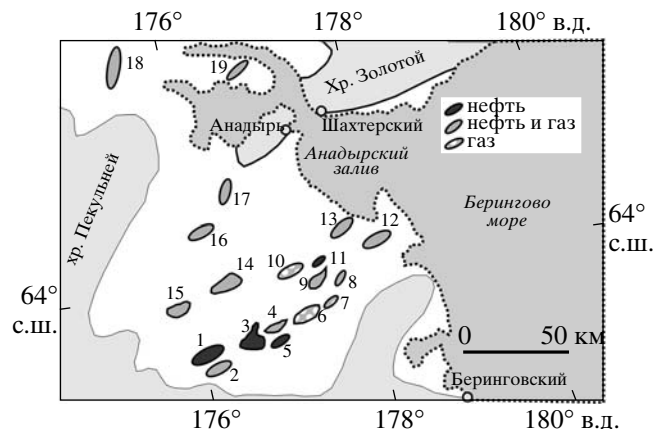


Рис. 4. Схема расположения локальных положительных структур в пределах Анадырской впадины, по [7, 31] с изменениями

1 – Верхне-Эчинская, 2 – Ольховая, 3 – Верхне-Телекайская, 4 – Незаметная, 5 – Мейнинукская, 6 – Поворотная, 7 – Измененная, 8 – Заречная, 9 – Восточно-Озернинская, 10 – Западно-Озернинская, 11 – Ягельная, 12 – Королевская, 13 – Ивановская, 14 – Эчинская, 15 – Нижнечиринайская, 16 – Северо-Собольковская, 17 – Западно-Увальская, 18 – Восточно-Каргоянская, 19 – Вахрушкинская

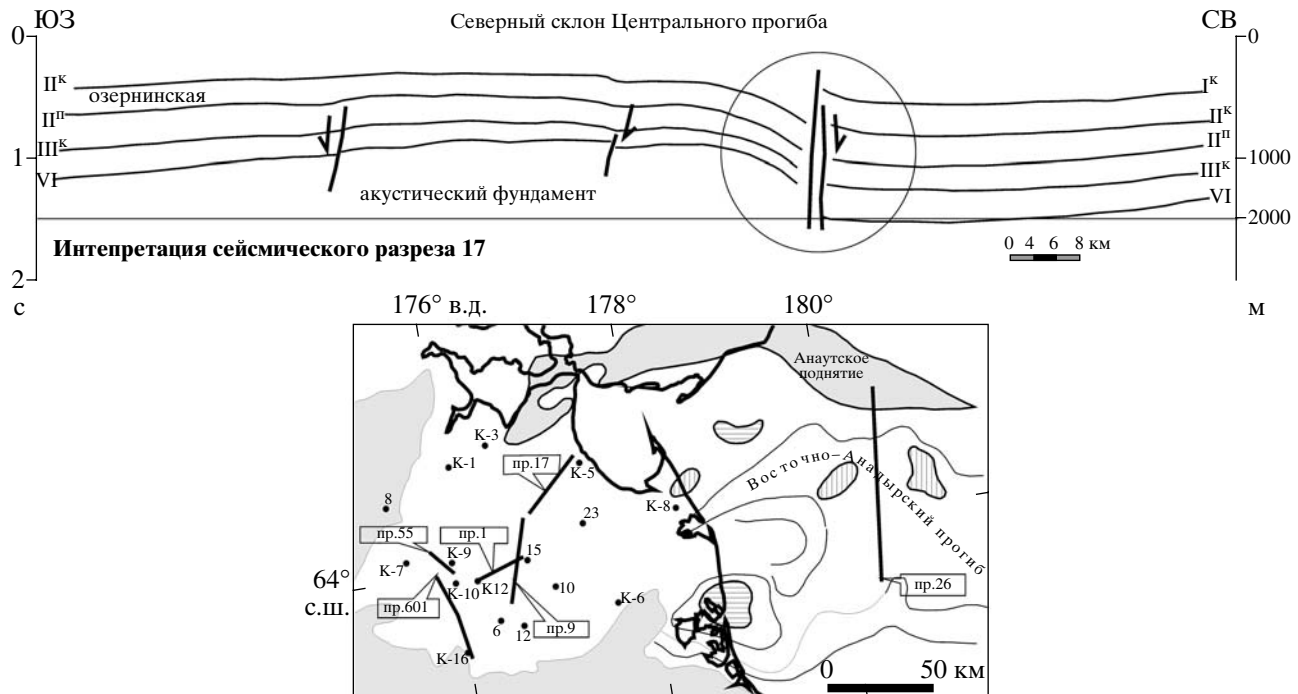
ственno Восточно-Анадырскому (на севере) прогибам (рис. 10).

В пределах северо-восточной части Туманского поднятия (см. рис. 10) мощность осадочного

**Таблица 1.** Индексация сейсмических отражений горизонтов осадочного чехла, переходного комплекса и акустического фундамента южной и центральной частей Анадырской впадины

Комpleксы земной коры	Свита (толща)	Стратиграфический интервал	Индекс кровли/подошвы	Средняя пластовая скорость (м/с)
Осадочный чехол	александровская	$N_2-Q_1$	I <sup>1</sup> /I <sup>2</sup>	–
	эчинская	$N_{1-2}$	I <sup>3</sup> /I <sup>4</sup>	–
	озернинская	$N_1^{2-3}$	II <sup>k</sup> /II <sup>n</sup>	–
	елисеевская	$N_1^2$	II <sup>5</sup> /II <sup>6</sup>	–
	автактульская	$N_1^{1-2}$	III <sup>k</sup> /III <sup>n</sup>	<3000
	гагаринская	$N_1^1$	IV <sup>k</sup> /IV <sup>n</sup>	3000
	собольковская	$N_1^1$	–	4400
Переходный комплекс	майнинская	$P_3$	V <sup>k</sup> /V <sup>n</sup>	3800
	уст-чирина (ягельная)	$P_2$	VI	–
Складчатый фундамент и нижний переходный комплекс	танюрерская (анадырская)	$P_{1-2}$	–	4200
	рарыткинская	$K_2 sm-m$	–	4000
	нижний мел (берриас–альб)	$K_1 b-al$	–	>4200

Примечание. Прочерк – нет данных.



**Рис. 5.** Геолого-геофизический разрез по профилю МОГТ через северный склон Центрального прогиба  
В центральной части профиля (внутри круга) выделяется система сбросов, имеющих конседиментационную природу (мощности сейсмокомплексов в опущенном крыле сброса возрастают).  
На врезке показано положение основных используемых в данной статье сейсмических профилей в сухопутной и шельфовой частях Анадырского бассейна

чехла сокращается более чем в два раза. Переходный комплекс здесь, вероятно, частично размыт. Для зон разломов, ограничивающих с юга Туманское поднятие, более вероятен сдвиговый, а не надвижковый характер перемещений. На склонах поднятия фиксируется прилегание слоев и сокращение мощностей отложений верхнего олигоцена и нижнего миоцена, локальные несогласия, что может свидетельствовать о конседиментационном росте поднятия (см. рис. 10). Аналогичные формы фиксируются также на северном и южном склонах Восточно-Анадырского прогиба. В миоценовых отложениях южного склона Анаутского поднятия, вероятно, присутствуют клиноформенные тела, маркирующие южное направление сноса обломочного материала (см. рис. 10).

В шельфовой части бассейна не отмечено структур, сходных с Майницким прогибом как по мощности осадочной призмы, так и по стилю тектонических деформаций.

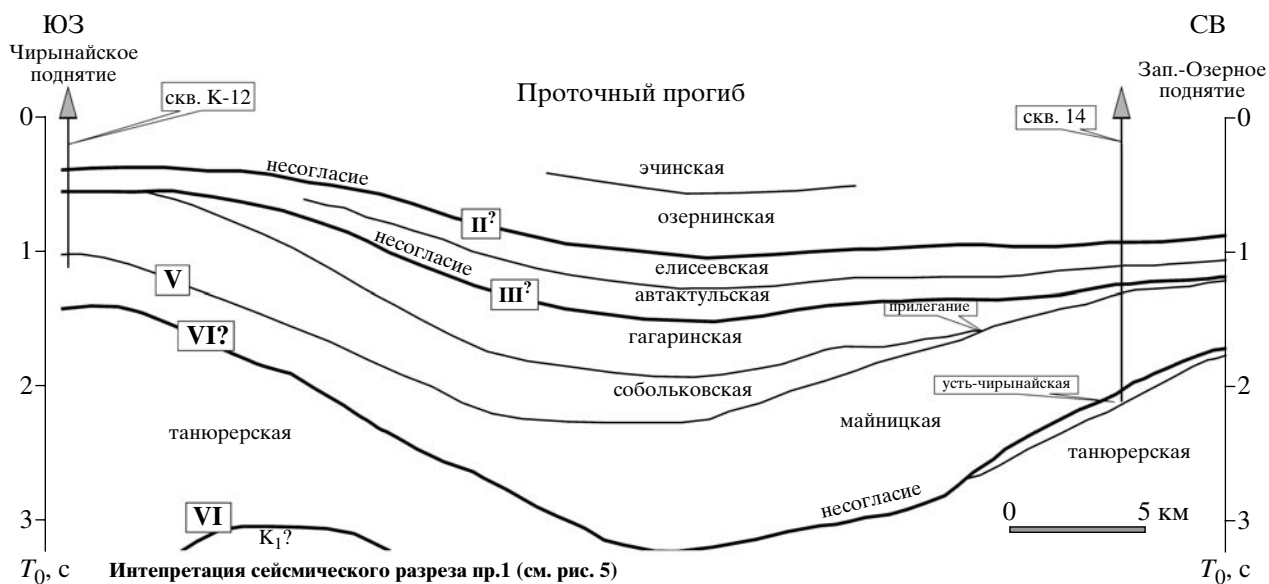
## СТРАТИГРАФИЯ

На сегодняшний день не существует общепризнанной схемы стратиграфического разделения осадочного чехла Анадырской впадины. Обзор современных представлений проведен в работе Е.Н. Полудеткиной [33].

Наиболее дискуссионным является вопрос о возрасте самых древних отложений, входящих в состав осадочного чехла. В работах Д.И. Агапитова [5, 6], В.В. Иванова [22] и Ю.К. Бурлина [13] обосновывается среднеэоценовый возраст ниж-



**Рис. 6.** Геолого-геофизический разрез по субширотному профилю МОГТ через Западно-Озерниковское поднятие. Местоположение профиля см на рис. 5  
Интерпретация основных отражающих горизонтов:  
VI – кровля акустического фундамента (омолаживается в северном направлении); V – подошва верхней песчаной подсвиты майницкой свиты (олигоцен); IV – подошва гагаринской и собольковской свит (нижний миоцен); II oz^n - подошва озерниковской свиты (средний миоцен); II oz^K – кровля озерниковской свиты (верхний миоцен); I ech^K – кровля эчинской свиты (плиоцен)



**Рис. 7.** Геолого-геофизический разрез через Проточный прогиб. Жирные линии – поверхности несогласий. Вулканогенные образования танютерской свиты могут рассматриваться как акустический фундамент (VI?). Местоположение профиля см. на рис. 5

ней части чехла (усть-чиринаиская свита). В работе [22] отмечается, что в основании этого крупного цикла осадконакопления не везде выделяется угловое несогласие. Это дало основание Л.С. Маргулису [28] предположительно включить в состав осадочного чехла отложения танютерской и ягельной свит палеоцен-раннеэоценового возраста.

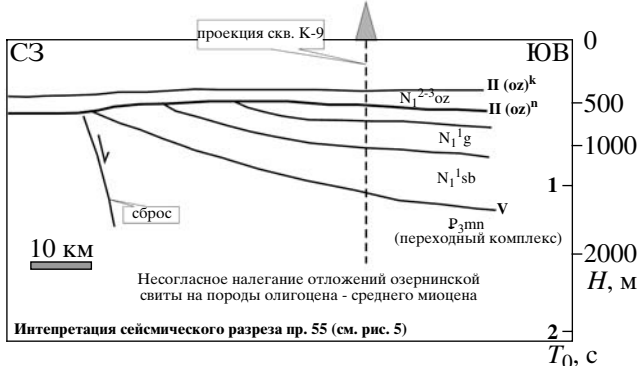
В работах Ю.Б. Гладенкова, Л.М. Гома, Е.Н. Полудеткиной и др. предполагается, что в составе чехла следует выделять верхнемеловой-палеоценовый переходный комплекс (рарыткинская свита и развитые в северной части впадины

ее угленосные возрастные аналоги). Данная точка зрения принята в настоящей статье.

Нижнемеловые комплексы фундамента. Наиболее древние породы, вскрытые скважинами при бурении в Анадырской впадине, имеют раннемеловой возраст. Глубина залегания кровли нижнемеловых вулканогенно-терригенных морских отложений в Центральном прогибе составляет 1687 м. Вскрытая мощность нижнемеловых отложений более 560 м. С учетом данных по горному обрамлению Анадырской впадины мощность вулканогенно-терригенного нижнемелового разреза может превышать 3000 м. Разрез включает берриас-нижнеальбские эффузивы и морские туфотерригенные отложения (песчаники и алевролиты с прослоями аргиллитов). Среди морских терригенных отложений выделяются шельфовые и более глубоководные турбидитовые разности.

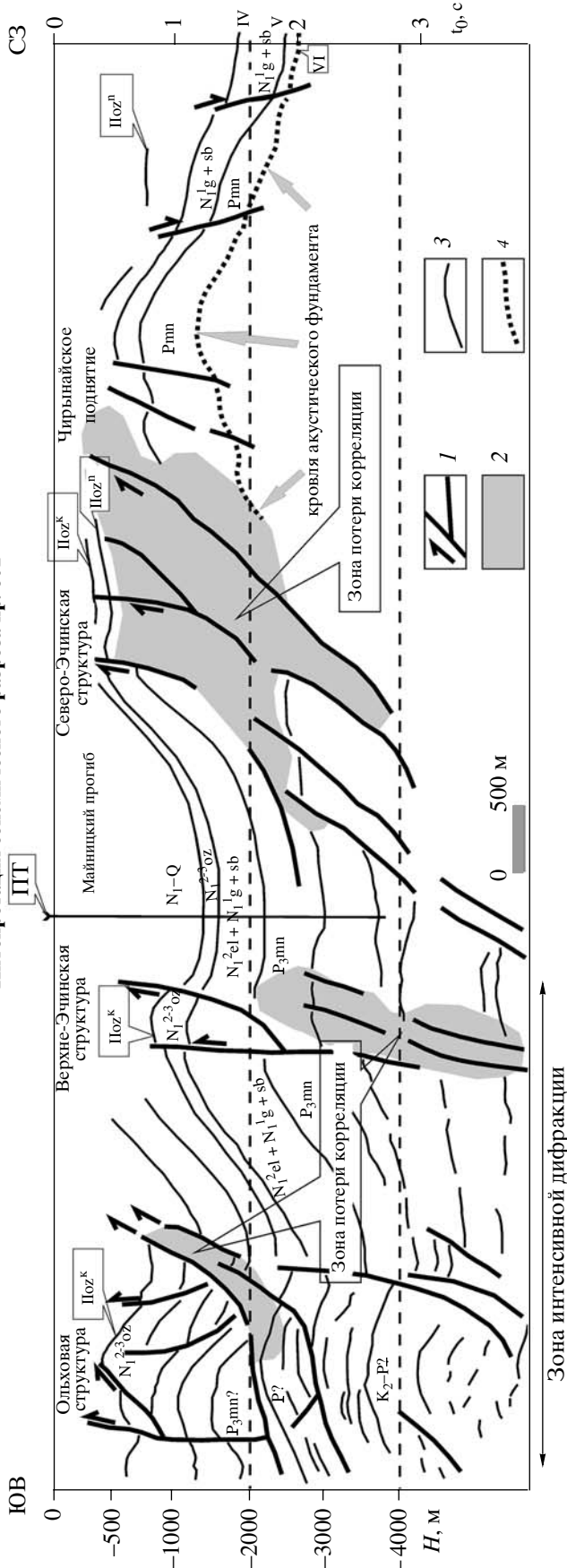
Выше с угловым несогласием и размытом залегают континентальные эффузивы, туфы и терригенные отложения верхнего альба-среднего эоцена. Вулканогенную часть этих образований обычно относят к разрезу Охотско-Чукотского и Анадырско-Бристольского окраинно-континентальных поясов [10, 36].

Верхнеальбские-нижнекампанские отложения представлены морскими и прибрежно-морскими граувакками псаммитовой и алевритовой размерности с примесью пирокластического материала, а также аргиллитами. Присутствуют прослои и пачки пирокластических пород, которые отлагались через толщу воды. Этот осадоч-



**Рис. 8.** Геолого-геофизический разрез по фрагменту профиля МОГТ. Отчетливо выражено несогласие в подошве озернинской свиты (жирная линия). Местоположение профиля см. на рис. 5

Интерпретация сейсмического разреза пр. 601



**Рис. 9.** Геолого-геофизический разрез через северную часть Майницкого прогиба и Чиринайское поднятие. Местоположение профиля см на рис. 5

Основные отражающие горизонты: VI – кровля акустического фундамента (омолаживается в северном направлении); V – подошва верхней песчаной подсвиты майницкой свиты (олигоцен); IV – подошва гагаринской и собольковской свит (нижний миоцен); Ilg<sup>n</sup> – подошва озернинской свиты (верхний миоцен); ech<sup>k</sup> – кровля эчинской свиты (плиоцен).

PPT – линия, по которой проводилось палеотектоническое моделирование.

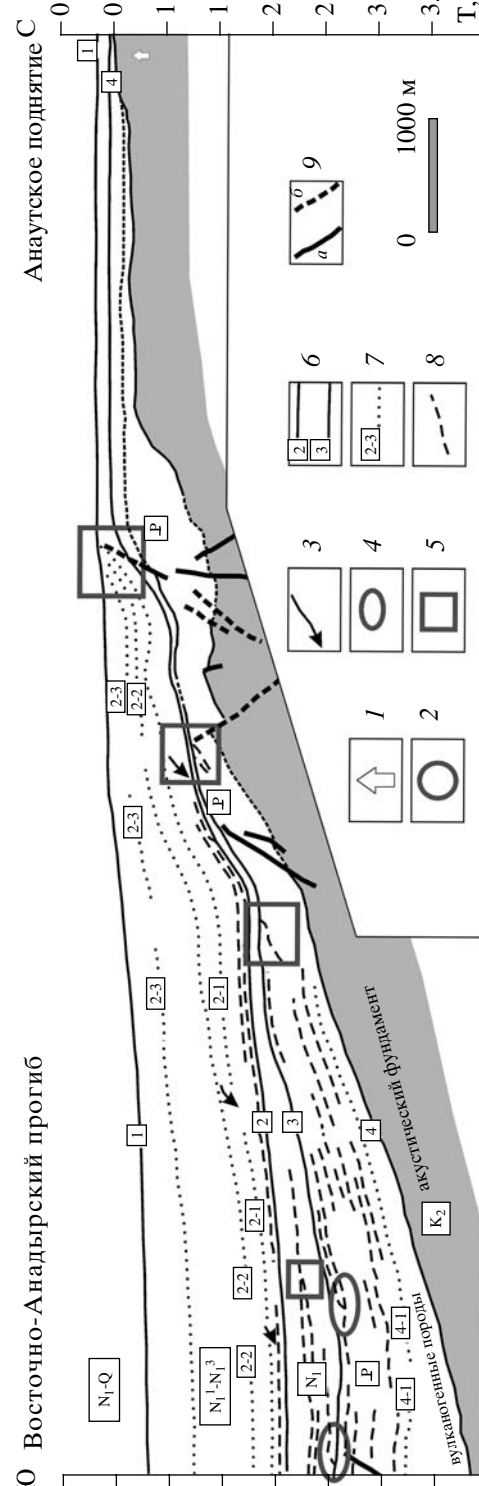
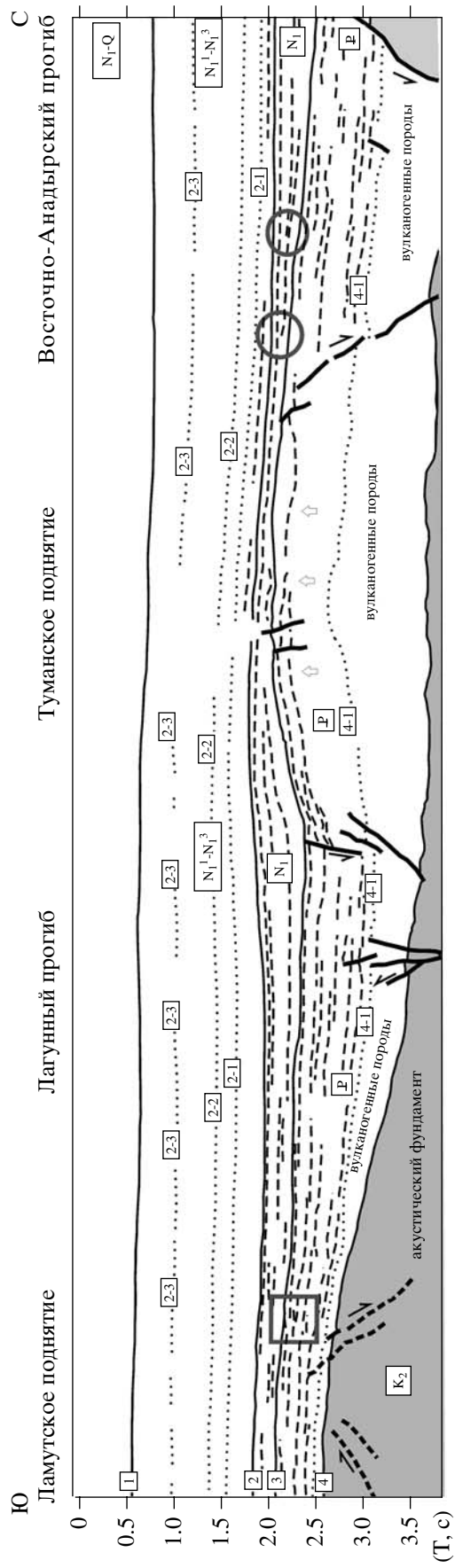
ЗИД – зона интенсивных дислокаций и увеличения вертикальной мощности отложений палеогена и мицена. Возможно присутствие меловых отложений в составе осадочного чехла. Акустический фундамент погружен более чем на 6 км глубины.

1 – разломы и направление перемещения по ним; 2 – зоны потери корреляции; 3 – сейсмические отражающие горизонты; 4 – кровля акустического фундамента

ный комплекс, вероятно, может рассматриваться как возрастной аналог континентальных эффузивов Охотско-Чукотского вулканогенного пояса. Мощная пачка глинистых пород венчает разрез нижнекампанских отложений и может рассматриваться как региональная покрышка (рис. 11)

*Переходный комплекс чехла впадины* сложен кампан-палеоценовыми отложениями [8, 33]. Д.И. Агапитов включал в состав чехла впадины южнее Озерновского поднятия также вулканогеннообломочные отложения среднего–верхнего сантонов. Это прибрежно-морские (на юге) и континентальные угленосные (на севере) молассы рапыткянской свиты – песчаники, алевролиты, аргиллиты и туфы. На границе нижнего и среднего сантонов фиксируется локальное угловое несогласие и стратиграфический перерыв. Это несогласие, по-видимому, маркирует начальную fazу складчатости в южном обрамлении Анадырской впадины. Стратиграфический разрез верхнего сантонов–нижнего палеоцена, как и вышележащий разрез палеоцена–среднего эоцена, фациально изменчив. Он представлен азральными эффузивами среднего и кислого состава, которые фациально замещаются по направлению к югу русловыми, озерными, лагунными и прибрежно-морскими угленосными отложениями. Мощность альб–нижнесантонских отложений около 2000 м, а среднесантон–палеоценовых (рапыткянская свита) 800–1000 м.

Палеоцен–среднеэоценовый интервал разреза иногда рассматривается как верхняя часть переходного к осадочному чехлу комплекса [8] (см. рис. 11). Вулканогенные накопления танюрерской свиты (600–700 м) палеоцен–эоценового возраста развиты в северной части впадины. Здесь же распространены в локальных грабенах континентальные вулканогенно-терригенные, угленосные отложения анадырской и онеменской толщ верхнего эоцена–олигоцена, мощности которых



**Рис. 10.** Фрагмент геолого-геофизического разреза вдоль меридионального морского сейсмического профиля МОГТ. Местоположение профиля см на рис. 5  
 1 – концедиментационное поднятие; 2 – стратиграфическое притыканье слоев; 3 – признаки клиноформенного (подводно-оползневого) структуры и направление транспорта обломочного материала в плоскости профиля; 4 – фронтальная часть подводно-оползневого тела; 5 – угловой или стратиграфическое несогласие (врез); 6 – основные отражающие горизонты, отвечающие кровле и подошве сеймокомплексов; 7 – рефлексы, отражающие горизонты в пределах сеймокомплексов; 8 – отражающие поверхности в пределах сеймокомплексов; 9 – зоны разломов, выделяемые уверенно (*a*) и вероятными (*b*)

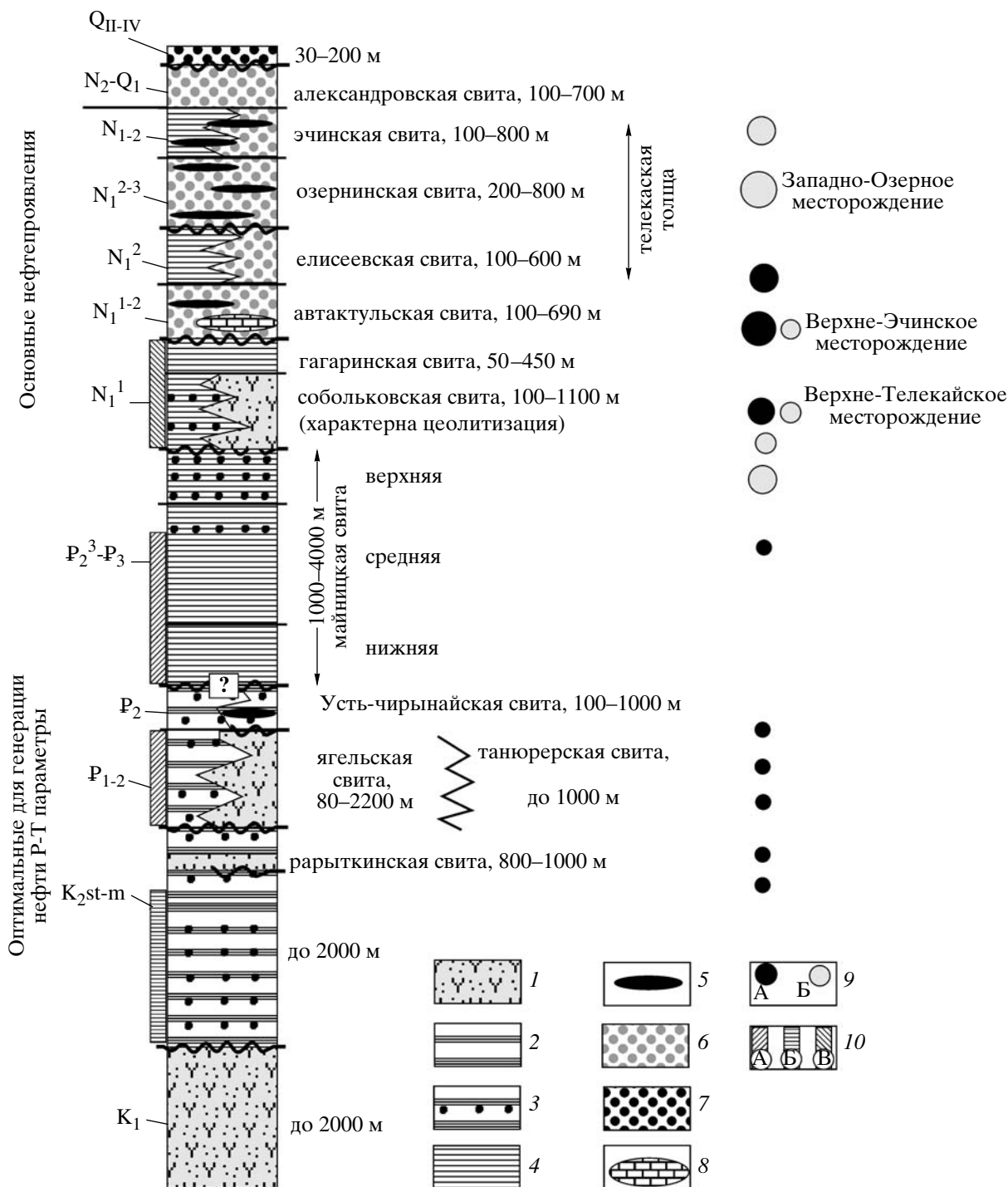


Рис. 11. Сводная литолого-стратиграфическая колонка для меловых-кайнозойских отложений Анадырского бассейна. По [22] с изменениями и дополнениями

1 – терригенно-пирокластические породы; 2 – глинисто-алевритовые породы с прослойками песчаников; 3 – глинисто-алевритовые породы; 4 – преимущественно глинистые породы; 5 – прослои и линзы угля; 6 – преимущественно песчаники; 7 – конгломераты и брекчии; 8 – прослои и линзы известняков; 9 – проявления: А – нефти, Б – газа; 10 – основные нефтепроизводящие (А), нефте-газопроизводящие (Б) и газопроизводящие (В) толщи

изменяются от 240 до 1000 м и более. В южной части Анадырской впадины палеоцен-эоценовые морские отложения имеют терригенный состав – ягельная и усть-чирынайская толщи Западно-Озерной, Восточно-Озерной, Усть-Чирынайской, Верхне-Эчинской площадей и Майнцкого прогиба мощностью от 700–900 м на юго-западе до 2200 м на юге. В акваториальной части впадины вскрыта верхняя часть палеогеновых отложений, литологически сходных с ягельной толщой.

Возраст палеогеновых отложений обоснован находками флористических, споро-пыльцевых и микрофаунистических остатков [28]. Датировки палеогеновых эфузивов K-Ar методом находятся в интервале среднего эоцена – 44–67 млн. лет [28]. В основании разреза танюерской толщи фиксируется региональное угловое несогласие. Палеоценовая часть разреза порой оказывается размытой. Это связывается с эоценовыми складчатыми деформациями в южном обрамлении Анадырской впадины [41].

*Комплексы собственно осадочного чехла.* Большинство исследователей включают в состав осадочного чехла отложения от верхнего эоцена до неоген-четвертичных [4, 8, 31] (см.рис. 11). Выделяются два крупных осадочных цикла, разделенные угловым несогласием и стратиграфическим перерывом: позднеэоцен-олигоценовый (средне-позднеэоцен-олигоценовый, по Ю.Б. Гладенкову) и миоцен-четвертичный.

*Позднеэоцен-олигоценовый цикл* – терригенные отложения майнцкой свиты распространены в центральной и южной частях Анадырской впадины.

Ранний подцикл сложен аргиллитами и глинистыми алевролитами с включениями пирита. Количество прослоев алевролитов постепенно возрастает вверх по разрезу. Мощность варьирует по простирианию от 100 м на севере до более чем 1350 м на юге (скважина Р-18).

Средний подцикл с постепенным переходом сменяет нижний цикл и сложен алевролитами с примесью карбонатного вещества и рассеянного углефицированного детрита. Мощность отложений цикла меняется от 450 на севере до 900 м на юге.

Поздний подцикл согласно с постепенным переходом надстраивает средний цикл и сложен средне- и мелкозернистыми глинисто-алевритовыми песчаниками. Песчаники иногда обогащены карбонатным веществом. Отмечаются прослои глинистых алевролитов. Мощность отложений верхнего цикла меняется от 150 м на севере до 500 м на юге впадины.

Вопрос о региональном характере несогласия на границе усть-чирынайской и майнцкой свит дискуссионен, т.к. литологический состав обеих свит имеет много общего [7]. Это свидетельствует о том, что основным источником сноса с сере-

дины эоцена был Корякский ороген. В северном направлении состав отложений майнцкой свиты становится более грубообломочным. На Вязкой площади разрез этой свиты представлен 50 метровой пачкой субконтинентальных конгломератов и песчаников [22].

*Неоген-четвертичный цикл.* Его породы распространены на всей площади Анадырской впадины. В основании неогенового разреза (собольковской свиты) фиксируется региональное угловое несогласие. Характерной особенностью отложений собольковской свиты является широкое развитие цеолитизации.

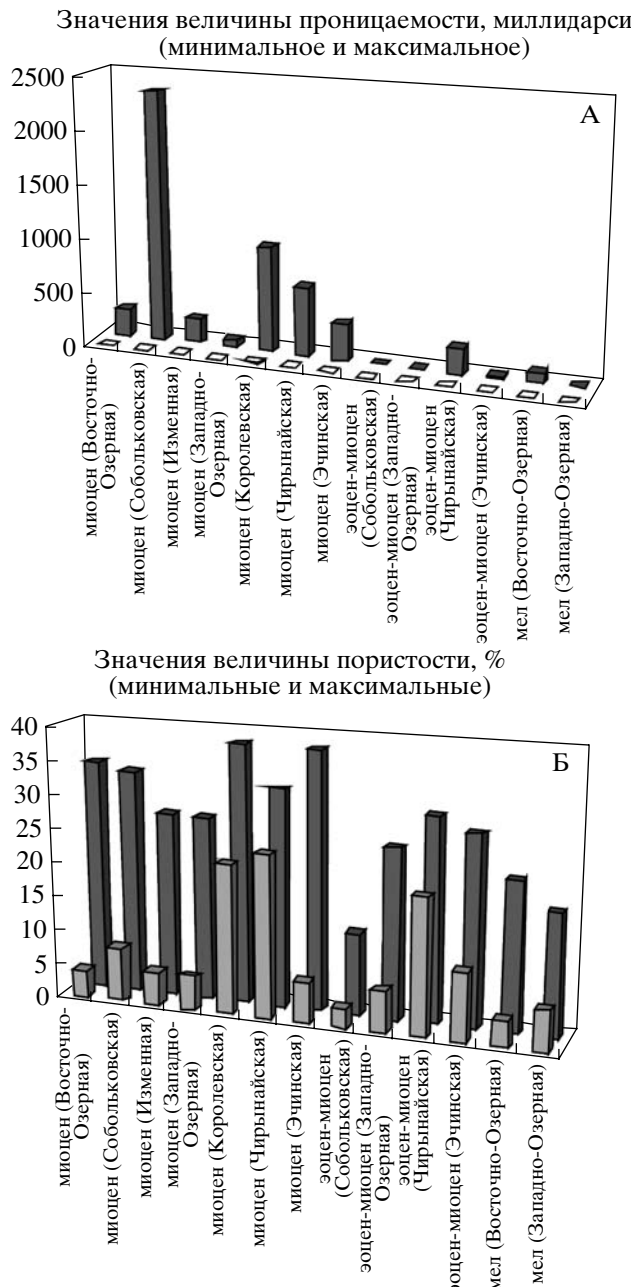
Отложения неогена накапливались в мелководно-морских, прибрежно-морских и субконтинентальных условиях. Стратиграфический разрез фациально изменчив. В составе неогенового осадочного цикла можно выделить три основных подцикла осадконакопления: нижний (собольковская и гагаринская свиты), отделенный несогласием и размывом средний (автактульская и елисеевская свиты) и верхний (озерниковская, эчинская и Александровская свиты).

Разрез собольковской свиты (нижний миоцен) в нижней части представлен мелкозернистыми песчаниками и гравелитами, а в верхней – переслаиванием песчаников, алевролитов и аргиллитов. В центральной и южной частях Анадырской впадины преобладают тонкообломочные разности пород. На севере и северо-востоке преобладают песчаники с прослоями угля. В этом же направлении в разрезе возрастает доля пирокластических пород. Максимальная мощность отложений свиты до 1450 м (район Верхне-Телекайского месторождения). В западном направлении мощность свиты достигает 900 м.

Гагаринская свита (нижний миоцен) состоит в северной части впадины из прибрежно-морских и лагунных песчано-алеврито-глинистых отложений с прослоями угля. В южном направлении разрез становится более глинистым. В районе Майнцкого прогиба преобладают аргиллиты. Мощность отложений свиты достигает 1600 м в центральной (Верхне-Эчинское месторождение) и южной частях Анадырской впадины.

Автактульская свита (нижний–средний миоцен) соответствует автактульской и королевской толщам [5]. Разрез свиты сложен полимиктовыми песчаниками с прослоями алевролитов, известковистых песчаников и угля. Угленосность и мелководность отложений возрастает в северном направлении. Мощность отложений автактульской свиты варьирует от 60 м на севере до 690 м в центральной и южной частях впадины.

Елисеевская свита (средний миоцен) состоит из плохо сортированных песчаников и алевролитов с прослоями конгломератов. В южном направлении возрастает доля глинистых пород.



**Рис. 12.** Графики минимальных и максимальных значений проницаемости (А) и пористости (Б) для меловых, палеогеновых и миоценовых коллекторов Анадырской впадины (по [24] с изменениями)

Мощность отложений свиты меняется от 70 м до 330 м (на юге впадины).

Озернинская свита (средний–верхний миоцен) состоит из переслаивания полимиктовых песчаников и алевролитов с прослойями глин, известняков, известковистых песчаников, бурого угля. Мощность отложений озернинской свиты варьирует от 215 м на севере впадины до 615 м на юге.

Эчинская свита (верхний миоцен–плиоцен) сложена слабо литифицированными полимиктовыми песчаниками, переслаивающимися с алевролитами с прослойями глин и лигнитовых углей до 6.5 м мощности. Мощность отложений свиты меняется от 120 до 500–800 м (соответственно в центральной и южной частях впадины).

Отложения елисеевской, озернинской и эчинской свит объединяются в телекайскую толщу [33].

Александровская свита (плиоцен–плейстоцен) присутствует в скважинах, пробуренных в северной и западной частях Анадырской впадины. Разрез свиты состоит из рыхлых песков, супесей, суглинков и глин с прослойями лигнитов. Мощность отложений меняется от 100 до 700 м. В южной части впадины в основании александровской свиты, по данным Ю.К. Бурлина, отмечается несогласие.

Плейстоцен–голоценовые песчано-галечные отложения перекрывают всю территорию Анадырской впадины и имеют мощность от 40 до 200 м.

Для отложений майницкой свиты намечается два основных фациальных типа разрезов: на северо-востоке Майницкого прогиба (собольковско-измененный тип) и на западе (чирынайский тип). Коллекторские свойства чирынайского типа разреза существенно выше.

Зафиксированные в скв. Р-10, Р-11 притоки пластовых флюидов из отдельных горизонтов майницкой свиты в пределах собольковско-измененного типа разреза указывают на возможное развитие в них коллекторов трещинного или порово-трещинного типа, что подтверждается данными по керну. С чирынайским типом разреза следует, в первую очередь, связывать возможность обнаружения залежей в гранулярных коллекторах майницкой свиты [27].

Коллекторские свойства верхнемеловых песчано-алевролитовых пород невысокие (пористость 4–18%, проницаемость 0.1–7 мД), что зафиксировано в скв. К-6 и Р-15 (рис. 12). Эти данные согласуются с фактами получения притоков пластовых флюидов в скв. Р-15. Это позволяет предполагать наличие коллекторов трещинно-порового типа среди верхнемеловых пород [27].

## ХАРАКТЕРИСТИКА НЕФТЕМАТЕРИНСКИХ ПОРОД

Детальный анализ нефтематеринских пород дан в работах [4, 5, 7, 18, 22, 25, 32, 33]. Большинство авторов сходятся во мнении, что отложения среднего–верхнего миоцена находятся в температурных условиях, где возможна лишь биохимическая генерация газа.

Нижнемиоценовые преимущественно терригенные отложения собольковской свиты с гумусовым типом органического вещества обладают

низким, преимущественно газогенерирующим потенциалом.

Современные исследования свидетельствуют, что основными производящими углеводородов толщами являются ягельная и майницкая [33]. Невысокие показатели битуминозности, гумусовая специализация органического вещества свидетельствуют о невысоком вкладе ягельной толщи в генерацию жидких углеводородов. Наиболее перспективными для генерации жидких углеводородов являются глинистые отложения майницкой толщи [33].

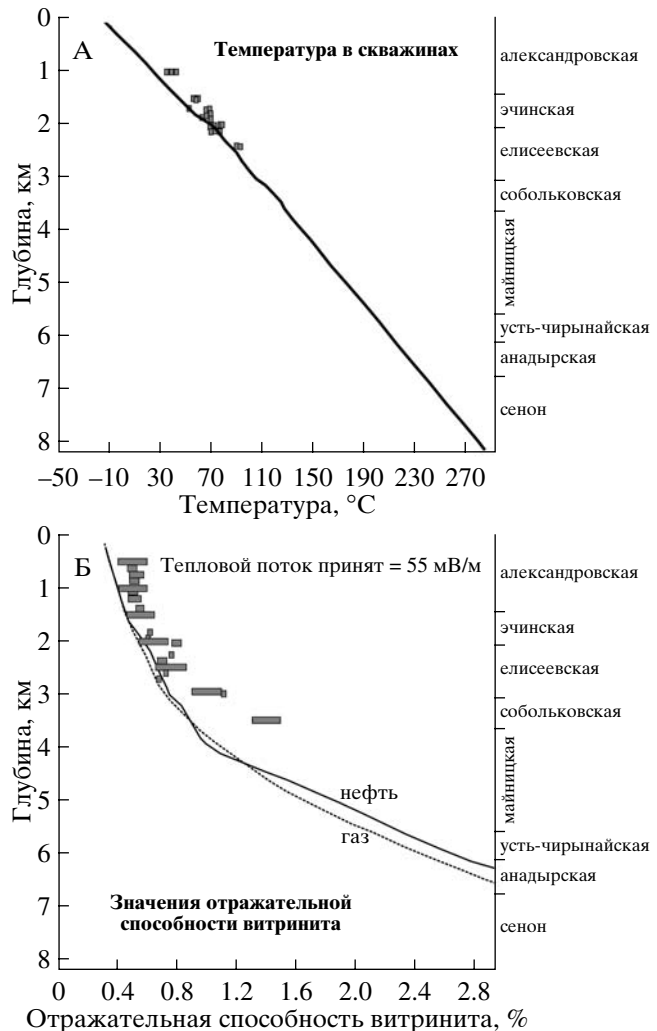
Нефтематеринский потенциал глинистых пород усть-чирынайской свиты подтверждается битумопроявлениями в скв. К-7 на Усть-Чирынайском поднятии. Здесь вся толща насыщена по микротрецинам аллохтонными битумоидами, а из туфов (интервал 802–806 м), непосредственно подстилающих глинистые образования, поднят керн с капельножидкой нефтью [5].

Высока вероятность присутствия нефтематеринских толщ в составе верхнемеловых отложений раптиковской свиты Анадырской впадины. Косвенно это предположение согласуется с данными по Наваринскому бассейну, где 7 скважин вскрыли верхнемеловые отложения с высоким содержанием органического вещества. Верхнемеловые и палеоцен-эоценовые отложения центральной части Анадырской впадины расположены в условиях генерации легкой нефти и газоконденсата [22]. Эти утверждения справедливы для наиболее изученной бурением центральной части бассейна. В Майницком и Лагунном прогибах верхнемеловые, палеогеновые и неогеновые отложения находятся в принципиально иных термодинамических условиях. Неогеновые отложения здесь погружены до глубин 4.5 км и более. Их генерационный потенциал в этих условиях еще недостаточно изучен.

Анализ потенциально нефтематеринских пород позволяет предположить, что основной очаг нефтеобразования для сухопутной части Анадырской впадины пространственно тяготеет к району Майницкого прогиба [7].

### ПАЛЕОТЕКТОНИЧЕСКИЙ АНАЛИЗ

Методика анализа изменений во времени палеотектонических и геотермических условий в осадочном бассейне подробно изложена в работах [19, 20]. Суть методики заключается в том, что проводится комплексный анализ палеотектонических и палеотемпературных событий в осадочном бассейне. При этом учитывается возраст пород, их литологический состав, мощность отложений, наличие в разрезе несогласий и стратиграфических перерывов, глубина палеобассейна, тип содержащегося в них органического вещества,



**Рис. 13.** Графики распределения современных температур (А) и значений отражательной способности витринита (Б) в скважинах Анадырской впадины

концентрация  $C_{\text{org}}$ , глубина погружения потенциально нефтематеринских толщ, температура их прогрева, возраст и амплитуда последующих поднятий, наличие в вышерасположенной части разреза пород с хорошими коллекторскими свойствами и перекрывающих их слабопроницаемых отложений. Исходные данные для моделирования были взяты по материалам скважины К-16 Ольховой площади и скважинам на Верхне-Эчинской площади (табл. 2). На основании анализа стратиграфических данных по скважинам, материалов сейсморазведки и с учетом геологических материалов по южному обрамлению Анадырской впадины выделены основные уровни стратиграфических несогласий, амплитуды поднятий и размывов (см. табл. 2).

Палеотектоническое моделирование было выполнено для северной части Майницкого прогиба в непосредственной близости от Верхне-

Таблица 2. Исходная информация для палеотектонического моделирования

Свита/серия	Возраст (млн. лет)	Глубина залегания подошвы (км)	Мощность (размыв) (м)	Литология (%)										Нефтематеринские			
				песчаники	алевриты	глины	мергели	известняки	доломиты	соль	антидириты	уголь	туфы	палеобатим. (м)	Тип мерогена по Тиссо	общ. мопд. (%)	Сум. органич. С (%)
<b>Эрозия</b>	3.0		<b>-2500</b>														
Александровская	3.5	1450	1450	90	—	—	—	—	—	—	—	5	5	50	—	—	—
<b>Эрозия</b>	4.0		<b>-250</b>														
Эчинская	12.0	2050	600	60	—	30	—	—	—	—	—	10		50	—	—	—
Озернинская	14.0	2250	200	50	30	15	—	—	—	—	—	5		50	III	100	1.5
<b>Эрозии</b>	15.0		<b>-500</b>														
Елисеевская	17.0	2850	600	75	15	10	—	—	—	—	—	—	—	100	III	100	1.5
Автактульская	20.0	3050	200	10	80	10	—	—	—	—	—	—	—	100	III	100	1.5
<b>Эрозии</b>	21.0		<b>-500</b>														
Гагаринская	22.0	3250	200	70	15	—	—	—	—	—	—	15	—	150	—	—	—
Собольковская	24.5	3650	400	90	10	—	—	—	—	—	—	—	—	150	—	—	—
<b>Эрозии</b>	25.0		<b>-500</b>														
Майнинская верхняя	28.0	4125	475	40	40	20	—	—	—	—	—	—	—	100	II-III	100	2.0
Майнинская средняя	34.5	5075	950	10	70	20	—	—	—	—	—	—	—	100	II-III	100	2.0
Майнинская нижняя	38.0	5550	475	25	15	50	—	—	—	—	—	—	10	100	II-III	100	2.0
<b>Эрозии</b>	45–42		<b>-650</b>														
Усть-Чирынайская	45.0	6150	600	60	10	25	—	—	—	—	—	—	5	50	II-III	100	2.0
<b>Палеоцен-эоцен</b>	60.0	6750	600	40	40	—	—	—	—	—	—	—	20	50	—	—	—
<b>Эрозия</b>	65–60		<b>-700</b>														
<b>Верхний мел</b>	90.0	8150	1400	15	50	35	—	—	—	—	—	—	—	50	—	—	—

Примечание. Прочерк – отсутствие данного типа отложений или данных.

Эчинской структуры на основе сейсмопрофиля (см. линию ПТ на рис. 10).

Распределение современных температур в скважинах свидетельствует, что только палеогеновые и более древние отложения в настоящее время находятся в термических условиях, благоприятных для нефтегенерации (рис. 13, А). Распределение палеотемператур, основанное на данных по отражательной способности витринита, свидетельствует, что на протяжении геологиче-

ской истории в достаточной для нефтегенерации степени были прогреты отложения майнинской свиты и более древние образования. Миоценовые отложения, вероятнее всего, оказались “недогретыми” (см. рис. 13, Б).

Результаты моделирования прогрева толщ, заполняющих Анадырский осадочный бассейн, показаны на рис. 14. Кривые прогрева меловых-кайнозойских толщ во времени – тонкие ломаные линии. Жирные черные линии отражают степень

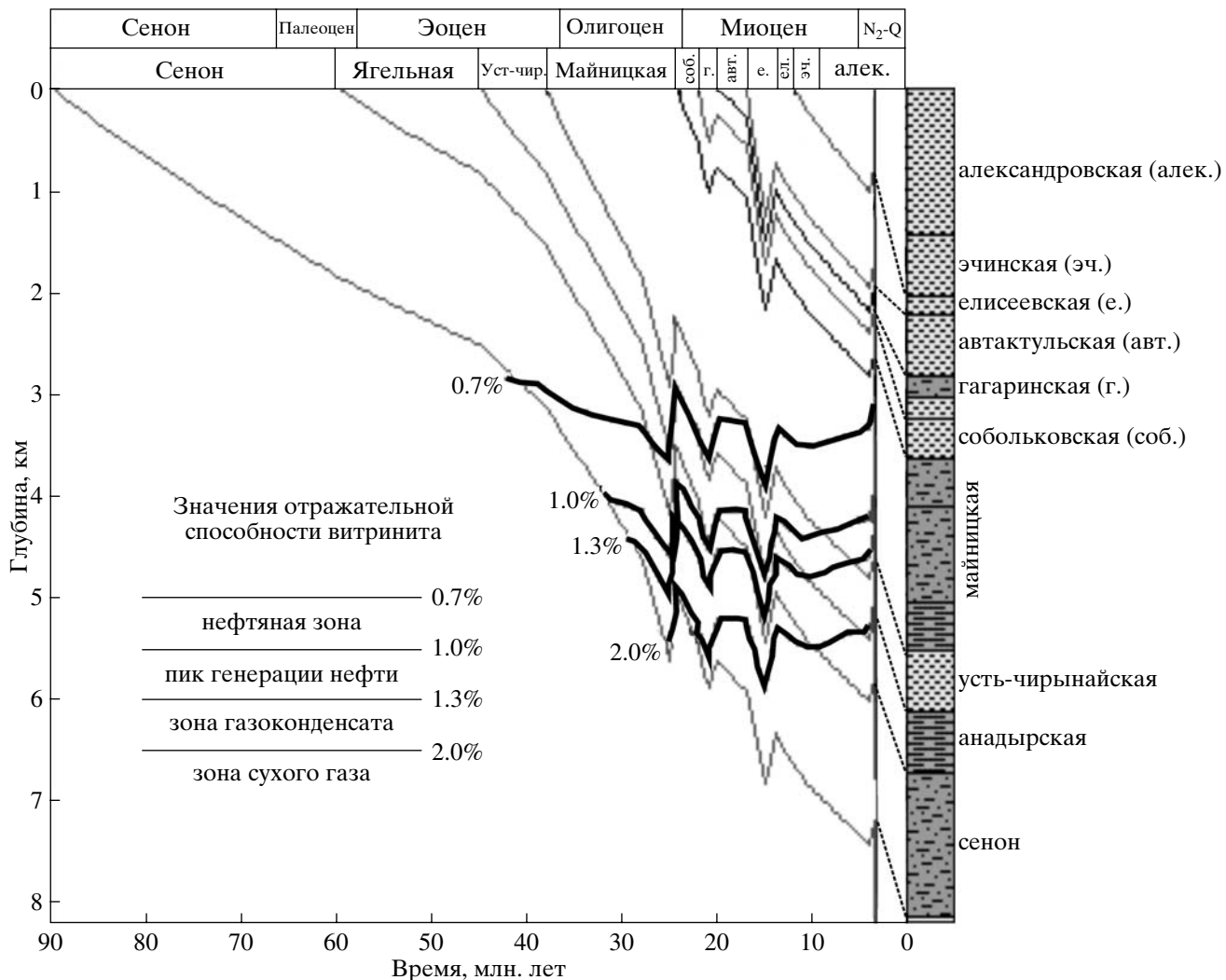


Рис. 14. Кривые прогрева меловых–кайнозойских отложений Анадырского бассейна

зрелости органического вещества толщ (значения отражательной способности витринита).

Главный вывод, который следует из модельных расчетов, – оптимальной степени зрелости для нефтегенерации в процессе воздействия давлений и температур достигло органическое вещество майницкой свиты, а также более древних отложений. Следовательно, доминировавшие глинистые образования, в первую очередь, глины майницкой свиты, следует рассматривать как основные нефтематеринские толщи для южной части Анадырского бассейна. Это согласуется с более ранними выводами других исследователей [5, 31–33]. Для нефти Озерной площади основными нефтематеринскими могут служить отложения палеоцена и эоцена; Усть-Чирийской площади – эоцена; Изменной и Верхне-Эчинской площадей – олигоцена. Возможен незначительный вклад глинистых пород нижнего миоцена в

формирование нефти в миоценовых коллекторах Изменной и Верхне-Эчинской площадей.

Таким образом, есть основания предполагать, что в неогеновых отложениях в настоящее время происходит преимущественно метанообразование. В низах неогенового разреза начинается формирование тяжелых газов, которое, как и нефтеобразование, наиболее типично для отложений эоцена–олигоцена [33].

#### МОДЕЛЬ ГЕОДИНАМИЧЕСКОЙ ЭВОЛЮЦИИ АНАДЫРСКОЙ ВПАДИНЫ

Осадочный чехол Анадырской впадины несогласно наложен на структуры трех разновозрастных складчато-надвиговых систем: альпийской Корякско-Камчатской на юге, позднемезозойских Западно-Корякской и Анюйско-Чукотской на западе и на севере соответственно (см. рис. 1). Гетерогенность фундамента в значительной степе-

пени предопределяет различия в строении нижних горизонтов осадочного чехла впадины.

Завершающая складчатость в пределах рассматриваемой части Западно-Корякского и Анюйско-Чукотского складчатых систем имела место в конце неокома (до позднего альба). Формирование Западно-Корякской системы связано с эволюцией мезозойской Удско-Мургальской зоны конвергенции между Азиатским континентом и океаническими плитами Мезо-Пацифики [29, 30, 33]. Западно-Корякская система состоит из террейнов активной окраины Азиатского континента и офиолитовых террейнов Пацифики.

Формирование Анюйско-Чукотской складчатой системы связано с эволюцией Южно-Ануйского океанического бассейна [11]. Анюйско-Чукотская система состоит из террейнов активной и пассивной окраины Азии, северного склона Аляски (Северной Америки) и офиолитовых террейнов Южно-Ануйского бассейна [11]. В барреме–апте в пределах Пекульнейско-Канчаланско-го сегмента Западно-Корякской системы, а также в пределах Анюйско-Чукотской системы широко проявились сдвиговые деформации.

В альбе–туроне территория обеих складчатых систем была охвачена растяжением и горообразованием. Это предопределило обширный снос обломочного материала как на юг – в пределы будущей Анадырской впадины, так и на север – в Южно-Чукотский и Северно-Чукотский прогибы.

Формирование широтной складчато-чешуйчатой структуры Алькатваамского сегмента Корякско-Камчатского складчатого сооружения (Наваринская ветвь, по Е.Н. Полудеткиной [33]) происходило в два этапа. В конце раннего мела (до позднего альба) этот южный (в современной структуре) борт Анадырской впадины был частью Западно-Корякской складчатой системы [29, 30, 33]. В позднем альбе–туроне здесь также возобладало растяжение и орогенез. С позднего альба до начала среднего эоцена на месте южной части Анадырской впадины накапливались морские терригенные отложения и вулканогенные комплексы Охотско-Чукотского и Анадырско-Бристольского окраинно-континентальных поясов [10, 36]. Южнее, на границе с Пацифией, формировались флишевые отложения Укэлятского задугового прогиба. В среднем эоцене имело место их пространственное совмещение со структурами Алькатваамского сегмента Западно-Корякской системы. Причиной была коллизия азиатской окраины с Ачайваемской энсиматической дугой и обдукация слагающих ее образований на отложения Укэлятского флишевого прогиба [40, 41]. Фронт деформаций мигрировал в северном направлении в течение позднего эоцена и олигоцена.

В результате сформировалась система надвигов северной вергентности, в которую были вовлечены как вулканогенно-терригенные образования фундамента, так и отложения нижних горизонтов чехла южной части Анадырской впадины в Майницком и, вероятно, в Лагунном прогибе. Предарыткинский, Майницкий и Лагунный прогибы расположены на погружении структур предгорного прогиба, сформированного перед фронтом Корякского орогена, который мигрировал в направлении с юга на север по мере развития многофазных складчато-надвиговых деформаций. Финальное орогеническое событие в пределах впадины имело место в середине миоцена и предопределило наличие регионального несогласия в автактульской свите.

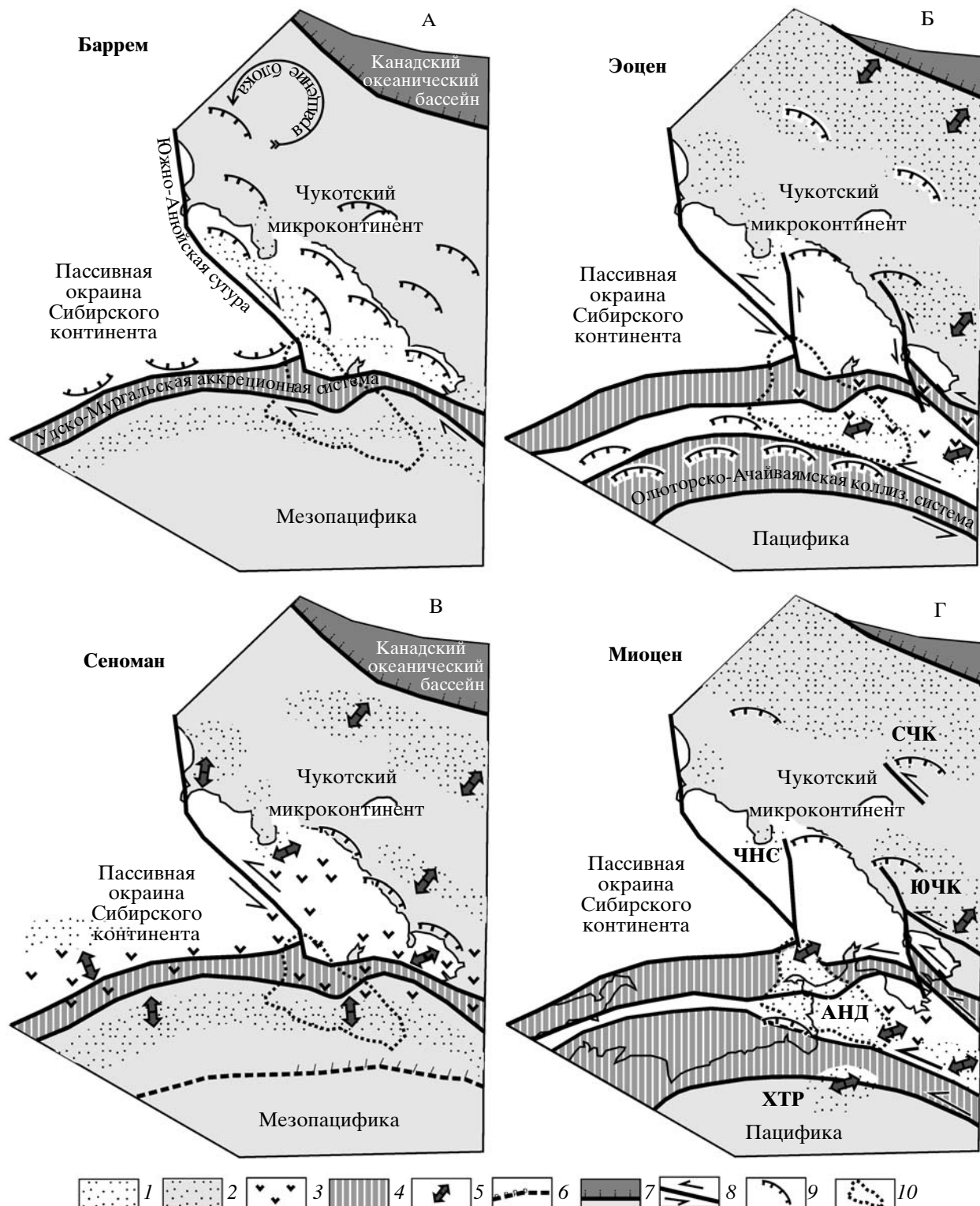
Меловые–эоценовые образования в современной структуре слагают складчатый фундамент и нижнюю часть чехла южной части Анадырской впадины (см. рис. 2). Система прогибов южной части Анадырской впадины имеет более древнее заложение, чем прогибы центральной и северной частей впадины.

Таким образом, предлагаемая в данной статье модель строения и геодинамической эволюции обрамления и фундамента Анадырской впадины существенно отличается от модели, предложенной в работе [33].

## ПАЛЕОТЕКТОНИЧЕСКИЕ РЕКОНСТРУКЦИИ

В конце раннего мела (до альба) регион восточной Арктики был вовлечен в коллизионные события. В результате соприкосновения Чукотского микроконтинента с активной окраиной северо-восточной части Сибирского континента закрылась Ануйская ветвь Южно-Ануйского океанического бассейна. Чукотский микроконтинент в составе более крупного микроконтинента Чукотка-Арктическая Аляска был отченен от североамериканской окраины в результате открытия спредингового Канадского бассейна [11]. На финальной стадии коллизии Чукотки с окраиной Сибири вдоль Южно-Ануйского коллизионного шва (сutures) происходили правосдвиговые перемещения вследствие вращения Чукотского микроконтинента против часовой стрелки (рис. 15, А). Этому предшествовало формирование системы тектонических покровов, перекрывших южную (в современных координатах) пассивную окраину Чукотского микроконтинента.

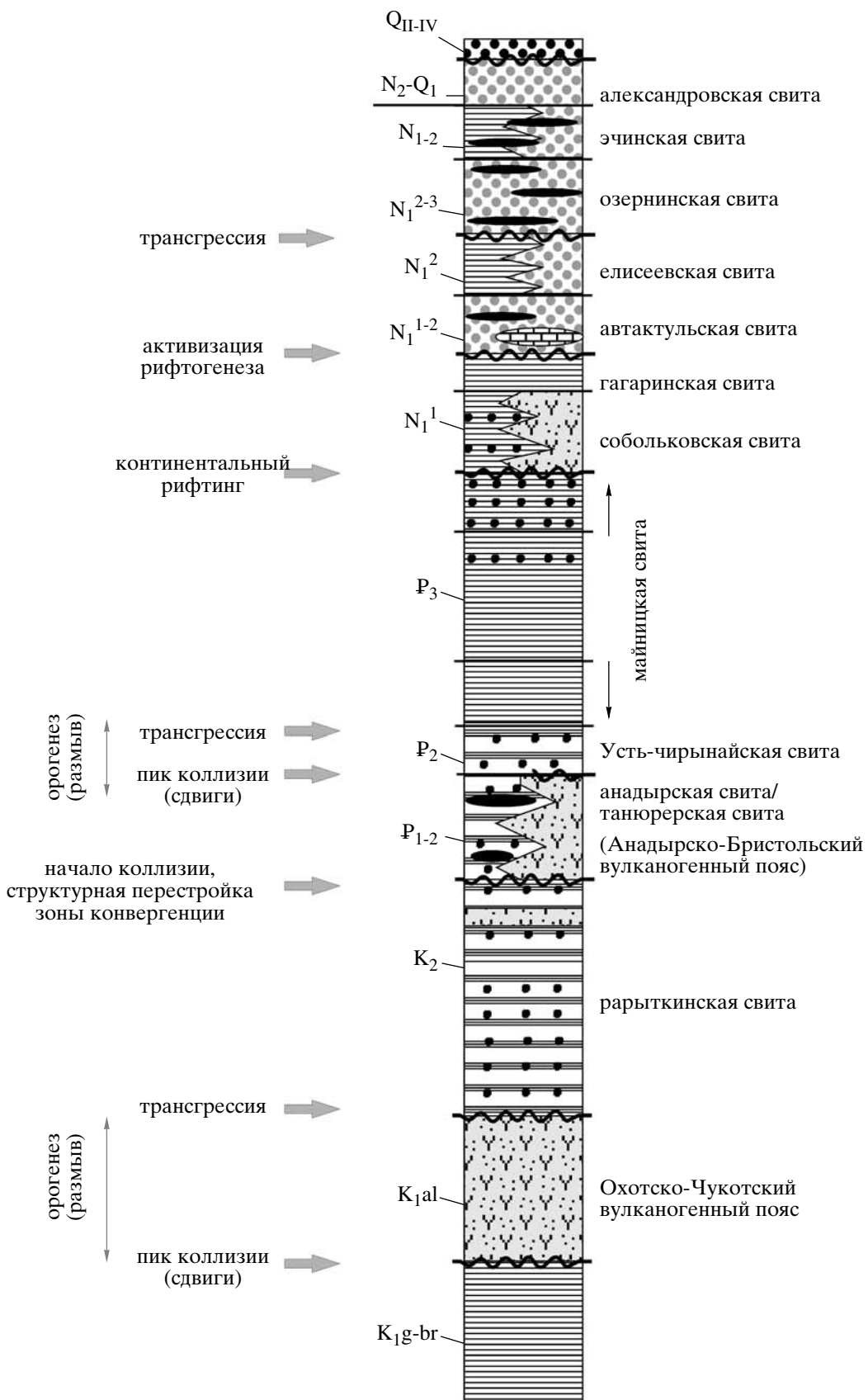
В барреме–апте перед северным краем Южно-Ануйской покровной системы формировались эпиконтинентальные бассейны терригенной седиментации (см. рис. 15, А). В это же время на юго-востоке (со стороны Мезопацифики) окраина Си-



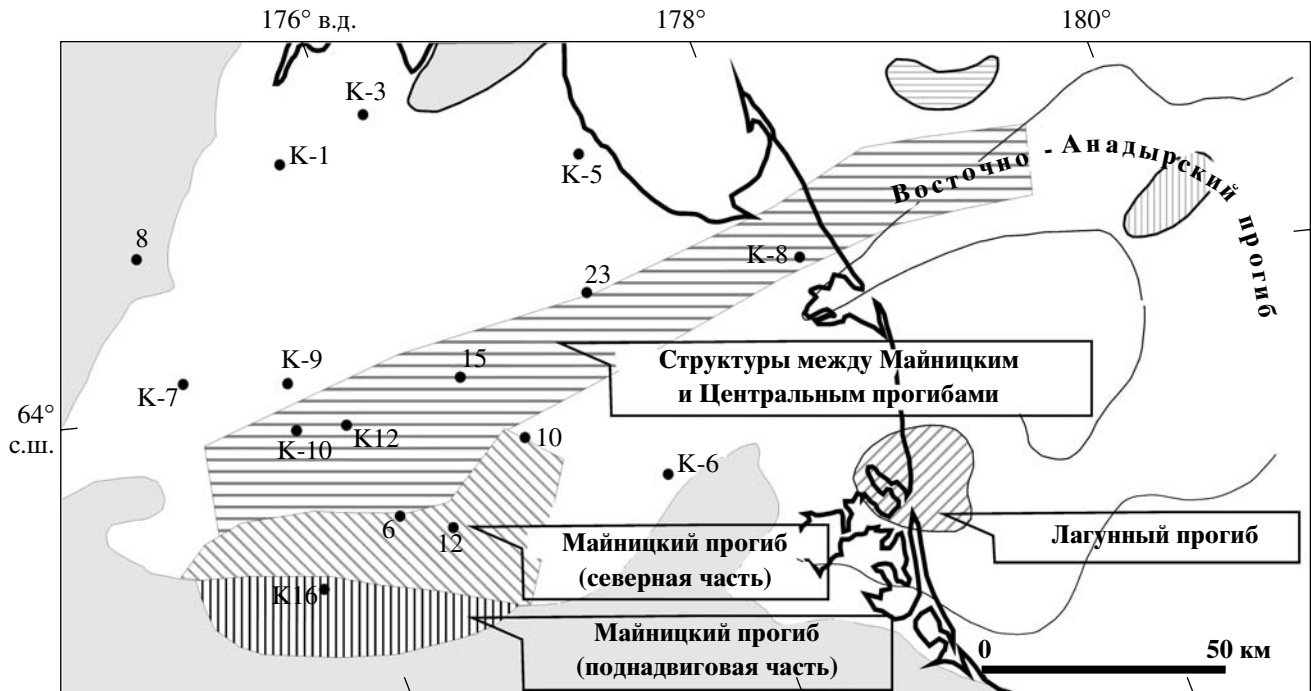
**Рис. 15.** Схематические палеотектонические реконструкции на барремский, сеноманский, эоценовый и миоценовый этапы развития структур, обрамляющих Анадырский бассейн

1, 2 – области терригенной седиментации: 1 – на суше, 2 – на шельфе; 3 – ареалы вулканизма; 4 – коллизионные складчато-надвиговые системы; 5 – латеральное растяжение; 6 – зона конвергенции; 7 – кора океанического типа Канадской котловины; 8 – основные шовные зоны сдвигового типа и направления перемещения по ним; 9 – зоны взбросово-надвиговых дислокаций; 10 – граница Анадырского бассейна.

Буквенные обозначения – основные осадочные бассейны: АНД – Анадырский, ХТР – Хатырский, ЧНС – Чаунский (Рауучанский); ЮЧК – Южно-Чукотский; СЧК – Северно-Чукотский



**Рис. 16.** Схема геологических событий в Анадырском бассейне  
Условные обозначения см. на рис. 11



**Рис. 17.** Контуры площадей в Анадырском прогибе, для которых рассчитывались объемы генерации и эмиграции углеводородов (см. табл. 3)

бири испытала коллизию с Удско-Мургальской островодужной системой (см. рис. 15, А, рис. 16).

В альбе имела место перестройка системы зон конвергенции в северо-западном секторе Мезопацифики. Это привело к началу вулканизма в Охотско-Чукотском окраинно-континентальном поясе. В конце альба–сенона рассматриваемый регион был охвачен региональным растяжением, которое интерпретируется как позднеколлизионная фаза орогенического коллапса [11]. Закладываются Северно-Чукотский и Южно-Чукотский осадочные бассейны. Активная вулканогенно-терригенная седиментация имела место также вдоль тихоокеанской окраины Сибири (см. рис. 16, Б). В позднем мелу наблюдалась активная морская седиментация на южной (тихоокеанской) окраине Сибири (Укэлятский флишевый прогиб), в том числе в пределах Анадырского его сегмента.

На границе мела и палеогена, по данным М.Н. Шапиро и А.В. Соловьева [40, 41] фиксируется начало деформаций вдоль тихоокеанской окраины рассматриваемого сектора Сибири, связанный с ранними фазами коллизии с Олюторско-Ачайвамской островодужной системой (см. рис. 15, В). На ранних этапах коллизии в палеоцене–эоцене доминируют взбросо-надвиговые дислокации. В эоцене преобладали левые сдвиги запад – северо-западного простирания (см. рис. 15, В). Южная частьproto-Анадырского бассейна также была вовле-

чена в эоценовые деформации. Перемещения по сдвигам сопровождались формированием локальных зон растяжения (грабенов), в которых имел место эфузивный магматизм.

В середине эоцена в северном обрамленииproto-Анадырского бассейна также фиксируется деформационное событие, связанное с перемещениями по системе северо-западных левых сдвигов [11] (см. рис. 15, Г). Вероятно, в эоцене имели место повторные деформации в южном обрамлении Северно-Чукотского бассейна. В эоцене–олигоцене фронт деформаций в южном обрамленииproto-Анадырского бассейна перемещался в северном направлении. Таким же образом вела себя ось максимального прогибания вproto-Анадырском бассейне.

В миоцене, после завершения орогении в Олюторско-Ачайвамской системе, началась трансгрессия моря. Активизировались субширотные и северо-западные сдвиги (см. рис. 15, Г). Причина этого кроется в формировании ороклинального изгиба северо-восточной Азии и северо-западной Северной Америки. К данной системе сдвигов приурочены многочисленные раздвинковые (рифтовые) бассейны, в том числе Хатырский и Наваринский.

Максимальное прогибание и максимальные мощности осадков накапливались в пределах будущего Центрального прогибаproto-Анадырского бассейна. Формировались мелководно-мор-

**Таблица 3.** Количественная оценка аккумуляции углеводородов в коллекторах автактульской свиты в пределах Майницкого и Лагунного прогибов южной части Анадырской впадины. Данные о масштабе генерации и эмиграции углеводородов из нефтематеринских пород палеоценена–миоценена взяты из работы [33]. Коэффициент аккумуляции принят 0.1. Генерационный потенциал танюнерской и рапыткинской свит не учитывался

	Структура и ее площадь ( $\text{км}^2$ )		Плотность эмиграции нефти, млн. т/ $\text{км}^2$	Плотность эмиграции газа, млрд. $\text{м}^3/\text{км}^2$	Средняя мощность автактульской свиты, м	Объем пород автактульской свиты, млрд. $\text{м}^3$	Средняя пористость, %	Объем открытой пористости пород автактульской свиты, млрд. $\text{м}^3$	Объем открытой пористости коллекторов автактульской свиты, млрд. $\text{м}^3$ (коэффициент песчанистости = 0.3)	Расчетная нефтенасыщенность формации, %	Нефтенасыщенность ловушек, (объем формации/объем ловушки = 0.01)	Аккумуляция нефти в ловушках, млн. т.	Аккумуляция газа в ловушках, млрд. $\text{м}^3$
Майницкий прогиб (985)	7	5	400	394	15	59	17.7	0.061	61	<b>863</b>	<b>493</b>		
Майницкий прогиб (поднадвиговая часть) (600)	14	10	800	480	12	58	17.4	0.06	60	<b>840</b>	<b>600</b>		
Лагунный прогиб (490)	5	4	350	172	17	30	9	0.034	34	<b>245</b>	<b>196</b>		
Структуры между Майницким и Центральным прогибами (1125)	3	3	200	225	20	45	13.5	0.031	31	<b>338</b>	<b>338</b>		
Всего				1271		192				<b>2113</b>	<b>1627</b>		

ские отложения собольковской свиты. Имел место локальный субаэральный вулканизм. Накопление осадков гагаринской, автактульской и елисеевской свит протекает в условиях периодических локальных поднятий и опусканий уровня моря. По-видимому, это связано с периодической активизацией сдвигов, оказывавшей влияние на палеорельеф (см. рис. 16).

Образование отложений озернинской, эчинской и александровской свит имело место преимущественно в континентальных условиях.

#### ОСНОВНЫЕ НАПРАВЛЕНИЯ ПОИСКОВО-РАЗВЕДОЧНЫХ РАБОТ

В Центральном прогибе (сухопутная часть бассейна) задача поисково-разведочных работ

сводится к доизучению уже открытых антиклинальных структур [32].

В шельфовой части бассейна необходима детализация степени картирования антиклинальных ловушек в пределах Тимкинского поднятия, а также поиски структурно-литологических (клиноформенных) ловушек в северной (прианаутской) части Восточно-Анадырского прогиба. Помимо миоценовых отложений, интерес могут представлять также коллекторы палеогена.

Основываясь на выводах Е.Н. Полудеткиной [33] о генерационном потенциале нефтематеринских толщ палеоценена–миоценена, был проведен расчет объемов эмиграции и аккумуляции нефти и газа для северной и южной (поднадвиговой) частей Майницкого прогиба, Лагунного прогиба, а

также структурной зоны между Майницким и Центральным прогибами (рис. 17). Результаты расчетов свидетельствуют, что в ловушках, сложенных коллекторами автактульской свиты миоцена, можно прогнозировать накопление 2113 млн. тонн жидких углеводородов и 1627 млрд. м<sup>3</sup> газообразных углеводородов (табл. 3). Суммарные запасы обнаруженных в структурах южной части Центрального прогиба и северной части Майницкого прогиба углеводородов на два порядка ниже. Это позволяет предположить вероятность существования еще неоткрытых залежей углеводородов, прежде всего в пределах южной поднадвиговой части Майницкого прогиба и в акваториальной части – в Восточно-Анадырском и Ламутском прогибах (см. табл. 3).

Наибольший интерес представляет поиск и картирование приразломных структурно-литологических и поднадвиговых антиклинальных ловушек в эоценовых и миоценовых отложениях северной части Майницкого прогиба и обрамляющих его Чиринайского и Туманского поднятия в сухопутной части бассейна, а также на стыке Туманского поднятия и Ламутского прогиба в мелководной прибрежной части бассейна.

## ВЫВОДЫ

Происхождение месторождений нефти в пределах локальных поднятий Центрального прогиба Анадырской впадины остается дискуссионным. Параметры температур и давлений в миоценовых отложениях не достигают уровня, необходимого для массовой генерации нефти. В качестве нефтегенерирующих рассматриваются глинистые отложения эоцена–олигоцена и, в меньшей степени, верхнего мела и палеоцена [7, 22, 31, 33]. Анализ геолого-геофизических и буровых материалов, а также проведенное моделирование условий седиментации и распределения палеотемператур в Анадырском прогибе свидетельствуют, что наибольшим углеводородным потенциалом располагает южная, наиболее прогнутая и экранированная с юга надвигами часть бассейна, известная как Майницкий прогиб.

В шельфовой части Анадырской впадины маловероятно обнаружение структурных аналогов Майницкого прогиба, что связано с затуханием надвиговых деформаций по направлению к восточной (шельфовой) части впадины и преобладанию на шельфе сдвигового стиля деформаций [42].

Авторы благодарны профессорам Ю.К. Бурлину и А.Е. Шлезингеру за консультации и критические замечания, канд. геол.-мин. наук М.В. Бордовской за обсуждение геохимических данных. Работа выполнена при финансовой поддержке РФФИ, грант №05-05-64072, научной школы академика Ю.Г. Леонова, НШ 5508.2008.5.

## СПИСОК ЛИТЕРАТУРЫ

1. Агапитов Д.И., Бабкин П.В., Иванов В.В. Результаты и направления нефтегазопоисковых работ в Магаданской области. Магадан: СВКНИИ ДВНЦ АН СССР, 1976. 13 с.
2. Агапитов Д.И., Бурлин Ю.К., Драбкин И.Е. и др. Результаты геологоразведочных работ на нефть и газ в Анадырской впадине и задачи дальнейших исследований // Геология нефти и газа. 1970. № 8. С. 22–25.
3. Агапитов Д.И., Вахрушин Р.А., Иванов В.В. Неогеновые отложения южной части Анадырской впадины // Геология и геофизика. 1971. № 8. С. 110–113.
4. Агапитов Д.И., Иванов В.В. История тектонического развития Пенжинско-Анадырского района в позднем мезозое и кайнозое // Геотектоника. 1969. № 1. С. 68–82.
5. Агапитов Д.И., Иванов В.В., Крайнов В.Г. Новые данные по геологии и перспективам нефтегазоносности Анадырской впадины // Тр. СВКНИИ ДВНЦ АН СССР, 1973. Вып. 49. С. 23–39.
6. Агапитов Д.И., Иванов В.В., Мотовилов Ю.В., Тютрин И.И. Новые данные о нефтегазоносности южной Чукотки // Геология и геофизика. Краткие и предварительные сообщения. 1983. № 10. С. 115–117.
7. Антипов М.П., Бондаренко Г.Е., Бордовская Т.О., Шипилов Э.В. Анадырский бассейн северо-восток Евразии, берингоморское побережье, геологическое строение, тектоническая эволюция и нефтегазоносность. Апатиты. Изд. КНЦ РАН, 2008. 53 с.
8. Архипов В.Е., Брызгалова Г.С., Иванов М.К. Геологические предпосылки нефтегазоносности Анадырского и Наваринского бассейнов // Советская геология. 1989. № 1. С. 9–18.
9. Бабкин П.В., Клубов Б.А., Сыромятников А.Л., Федотов Д.Н. Находки битумов в рудопроявлениях ртути на Чукотке // Докл. АН СССР. 1980. № 2. С. 397–398.
10. Белый В.Ф. Геология Охотско-Чукотского вулканогенного пояса. Магадан: СВКНИИ ДВНЦ РАН, 1994. 76 с.
11. Бондаренко Г.Е. Тектоника и геодинамическая эволюция мезозойд северного обрамления Тихого океана // Автoreф. дис. ... д-ра геол.-мин. наук. М.: МГУ, 2004. 46 с.
12. Бурлин Ю.К. О связи нефтегазоносности с тектоникой и формациями на северо-западе Тихоокеанского тектонического пояса // Геотектоника. 1976. № 5. С. 101–107.
13. Бурлин Ю.К., Донцов В.В., Иванов В.В., Костылев Е.Н. Перспективы нефтегазоносности северо-восточной окраины СССР. М.: ВНИИОЭНГ, 1967. 97 с.
14. Бурлин Ю.К., Донцов В.В., Новиков Н.К. Особенности геологического строения и перспективы нефтегазоносности Анадырской и Нижне-Хатыр-

- ской впадин на Чукотке. М.: ВНИИОЭНГ, 1973. 51 с.
15. Бурлин Ю.К., Карношина Е.Е., Свистунов Е.П., Донцов В.В. Состав и строение продуктивных нижнемиоценовых отложений Анадырского бассейна // Геологические проблемы развития углеводородной и сырьевой базы Дальнего Востока и Сибири. Сб. Материалов научно-практической конференции. СПб.: Недра, 2006. С. 182–185.
  16. Верба М.Л., Ермаков Б.В. Геотектоническое районирование северо-западной части шельфа Берингова моря и прилегающих побережий // Геотектоника. 1976. № 2. С. 101–110.
  17. Гнибиденко Г.С., Сваричевский А.С. Структура и перспективы нефтегазоносности акватории Берингова моря // Советская геология. 1974. № 1. С. 89–96.
  18. Донцов В.В. Условия нефтеобразования в кайнозойских впадинах Анадырско-Корякского региона (на примере Анадырской и Нижне-Хатырской впадин): Автореф. дис. ... канд. геол.-мин. наук. М.: МГУ, 1972. 25 с.
  19. Ермолкин В.И. Зональность нефтегазонакопления на платформенных территориях. М.: Недра, 1986. 190 с.
  20. Ермолкин В.И. Генетические связи нефтегазообразования и нефтегазонакопления в земной коре // Статьи выпускников кафедры. М., 2006. С. 77–99. (Тр. Государственного университета нефти и газа).
  21. Иванов В.В. Геологическое строение и перспективы нефтегазоносности Пенжинско-Анадырского района / Автореф. дис. ... канд. геол.-мин. наук. М.: МГУ, 1967. 22 с.
  22. Иванов В.В. Осадочные бассейны Северо-Восточной Азии / Ред. А.А. Трофимук. М.: Наука, 1985. 209 с.
  23. Иванов В.В., Клубов Б.А., Алтаева Н.В. Нафтиды и нафтоиды Северо-Востока СССР. Магадан, 1979. С. 182–200. (Тр. СВКНИИ. Вып. 69).
  24. Иванов В.В., Коршунов А.А. Катагенетическая зональность пород Анадырской впадины и некоторые вопросы ее геологии // Геолого-геохимические особенности месторождений полезных ископаемых на Северо-Востоке СССР. Магадан, 1976. С. 169–181. (Тр. СВКНИИ ДВНЦ АН СССР. Вып. 69).
  25. Иванов В.В., Москвин Я.Г. Характер распределения битумоидов в мезозойских и кайнозойских отложениях юго-западного участка обрамления Анадырской впадины // Геология и геофизика. 1964. № 10. С. 30–34.
  26. Иванов В.В., Пущаровский Ю.М. Тектоническое положение и особенности строения осадочных бассейнов на северо-западном обрамлении Тихого океана // Геотектоника. 1981. № 4. С. 5–19.
  27. Иванов В.В., Скуб А.И., Мохов А.Е. Коллекторские свойства осадочных пород Анадырской впадины // Геология нефти и газа. 1975. № 7. С. 52–58.
  28. Маргулис Л.С. Строение осадочного чехла Анадырского НГБ. Опыт комплексного стратиграфического исследования // Геологические проблемы развития углеводородной и сырьевой базы Дальнего Востока и Сибири. Сб. Материалов научно-практической конференции. СПб.: Недра, 2006. С. 352–360.
  29. Некрасов Г.Е. Тектоническая природа Корякско-Камчатского региона и вопросы геодинамики складчатого обрамления севера Тихого океана // Геотектоника. № 6. 2003. С. 53–79.
  30. Некрасов Г.Е. Палеоокеанические домены (системы структуры) Корякско-Камчатской области // Бюл. МОИП. Отд. геол. 2006. Т. 81. Вып. 5. С. 5–41.
  31. Нефтегазоносность осадочных бассейнов северо-западной части Тихоокеанского пояса / Ред. Ю.К. Бурлин. М.: Изд-во МГУ, 1991. 205 с.
  32. Оруджева Д.С., Обухов А.Н., Агапитов Д.Д. Перспективы нефтегазопоисковых работ в Чукотском море // Геология нефти и газа. 1999. № 3–4. С. 5–13.
  33. Полудеткина Е.Н. Геохимические предпосылки нефтегазоносности Анадырского бассейна: Автореф. дис. ... канд. геол.-мин. наук. М.: МГУ, 2007. 22 с.
  34. Соколов С.Д. Аккреционная тектоника Корякско-Чукотского сегмента Тихоокеанского пояса. М.: Наука, 1992. 182 с.
  35. Соколов С.Д., Бондаренко Г.Е., Морозов О.Л., Луцицкая М.В. Тектоника зоны сочленения Верхоянско-Чукотской и Корякско-Камчатской складчатых областей // Бюл. МОИП. Отд. геол. 2001. Т. 76. Вып. 6. С. 24–41.
  36. Тиско Б., Вельте Д. Образование и распространение нефти // М.: Мир, 1981. 501 с.
  37. Филатова Н.И. Периокеанические вулканогенные пояса. М.: Недра, 1988. 264 с.
  38. Шипилов Э.В. Геотектонические предпосылки нефтегеологического районирования Берингово-морского региона // Освоение ресурсов нефти и газа морских месторождений. М.: ВНИИЭГазпром. 1983. Вып. 1. С. 1–5.
  39. Шипилов Э.В. О некоторых особенностях размещения и строения осадочных бассейнов Берингова моря в свете современных геолого-геофизических исследований // Геология и геохимия горючих ископаемых. 1983. Вып. 59. С. 89–95.
  40. Шипилов Э.В. Структурно-тектонические особенности и перспективы нефтегазоносности Берингова моря: Автореф. дис. ... канд. геол.-мин. наук. М.: Институт геологии и геохимии горючих ископаемых АН СССР, 1984. 26 с.
  41. Shapiro M.N., Soloviev A.V., Garver J.I., Brandon M.T. Sources of zircons from Cretaceous and Lower Paleogene terrigenous sequences of the southern Koryak Upland and western Kamchatka // Lithology and Mineral Resources. 2001. Vol. 36. No 4. P. 322–326.
  42. Soloviev A.V., Shapiro M.N., Garver J.I., Shcherbinina E.A., Kravchenko-Berezhnoy I.R. New age data from the Lesnaya Group: a key to understanding the timing of

- arc-continent collision, Kamchatka, Russia // The Island Arc. 2002. Vol. 11. P. 79–90.
- Bering Shelf // Geological Society of America. Special Paper. 257. 120 p. 3 sheets, scale 1 : 2500000.
43. Worall D.M. 1991. Tectonic history of the Bering Sea and the evolution of Tertiary strike-slip basins of the

*Рецензент: Ю.А. Волож*

## Tectonic Evolution of the Anadyr Basin, Northeastern Eurasia, and Its Petroleum Resource Potential

**M. P. Antipov<sup>a</sup>, G. E. Bondarenko<sup>a</sup>, T. O. Bordovskaya<sup>a</sup>, and E. V. Shipilov<sup>b</sup>**

<sup>a</sup> Geological Institute, Russian Academy of Sciences, 7 Pyzhevskii per., Moscow, 119017 Russia  
e-mail: antipov@ginras.ru

<sup>b</sup> Murmansk Marine and Biological Institute, Kola Scientific Center, Russian Academy of Sciences,  
17 Vladimirskaya ul., Murmansk, 183010 Russia

Received September 5, 2007

**Abstract**—The published data on the sedimentation conditions, structure, and tectonic evolution of the Anadyr Basin in the Mesozoic and Cenozoic are reviewed. These data are re-examined in the context of modern tectonic concepts concerning the evolution of the northwestern Circum-Pacific Belt. The re-examination allows us not only to specify the regional geology and tectonic history, but also to forecast of the petroleum resource potential of the sedimentary cover based on a new concept. The history of the sedimentary cover formation in the Anadyr Basin is inseparably linked with the regional tectonic history. The considered portion of the Chukchi Peninsula developed in the Late Mesozoic at the junction of the ocean-type South Anyui Basin, the Asian continental margin, and convergent zones of various ages extending along the Asia-Pacific interface. Strike-slip faulting and pulses of extension dominated in the Cenozoic largely in connection with orocinal bending of structural elements pertaining to northeastern Eurasia and northwestern North America against the background of accretion of terranes along the zone of convergence with the Pacific oceanic plates. Three main stages are recognized in the formation of the sedimentary cover in the Anadyr Basin. (1) The lower portion of the cover was formed in the Late Cretaceous–Early Eocene under conditions of alternating settings of passive and active continental margins. The Cenomanian–lower Eocene transitional sedimentary complex is located largely in the southern Anadyr Basin (Main River and Lagoonal troughs). (2) In the middle Eocene and Oligocene, sedimentation proceeded against the background of extension and rifting in the northern part of the paleobasin and compression in its southern part. The compression was caused by northward migration of the foredeep in front of the accretionary Koryak Orogen. The maximum thickness of the Eocene–Oligocene sedimentary complex is noted mainly in the southern part of the basin and in the Central and East Anadyr troughs. (3) The middle Miocene resumption of sedimentation was largely related to strike-slip faulting and rifting. In the Miocene to Quaternary, sedimentation was the most intense in the central and northern parts of the Anadyr Basin, as well as in local strike-slip fault-line depressions of the Central Trough. Geological and geophysical data corroborate thrusting in the southern Anadyr Basin. The amplitude of thrusting over the Main River Trough reaches a few tens of kilometers. The vertical thickness of the tectonically screened Paleogene and Neogene rocks in the southern Main River Trough exceeds 10 km. The quantitative forecast of hydrocarbon emigration from Cretaceous and Paleogene source rocks testifies to the disbalance between hydrocarbons emigrated and accumulated in traps of petroleum fields discovered in the Anadyr Basin. The southern portion of the Anadyr Basin is the most permissive for the discovery of new petroleum fields in the Upper Cretaceous, Eocene, and Upper Oligocene–Miocene porous and fracture-porous reservoir rocks in subthrust structural and lithological traps.